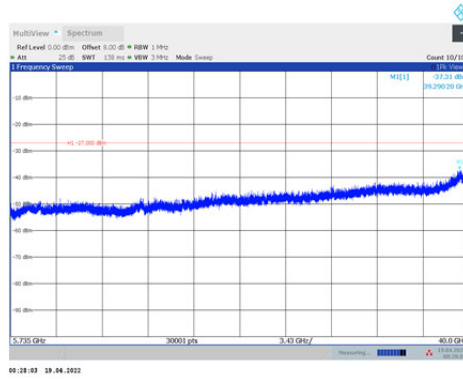
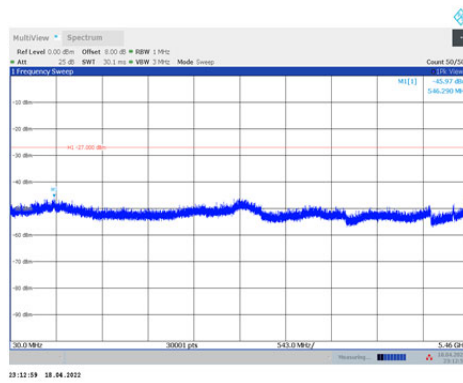


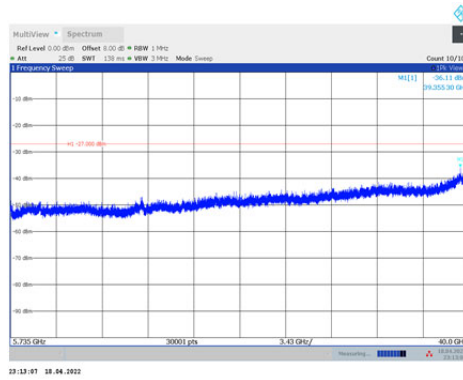
11AC20MIMO_Ant2_5520_5735~40000



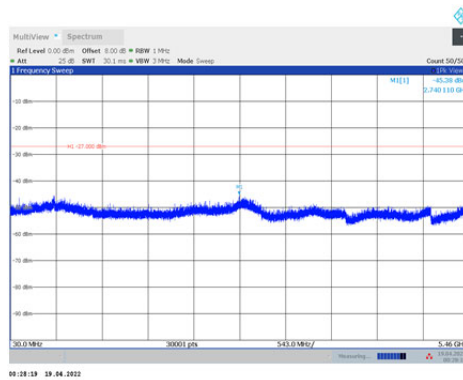
11AC20MIMO_Ant1_5580_30~5460



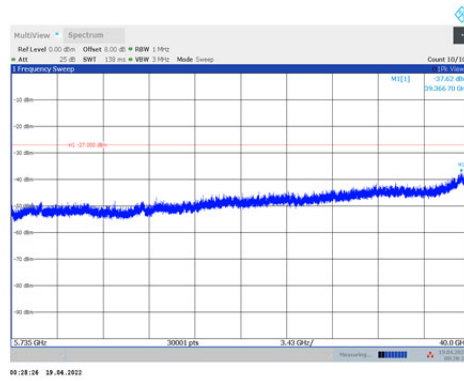
11AC20MIMO_Ant1_5580_5735~40000



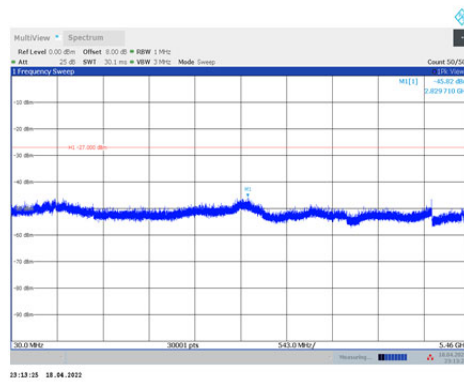
11AC20MIMO_Ant2_5580_30~5460



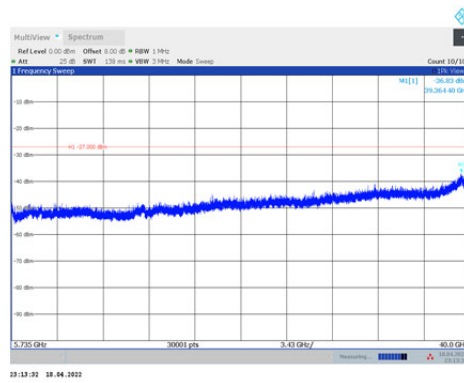
11AC20MIMO_Ant2_5580_5735~40000



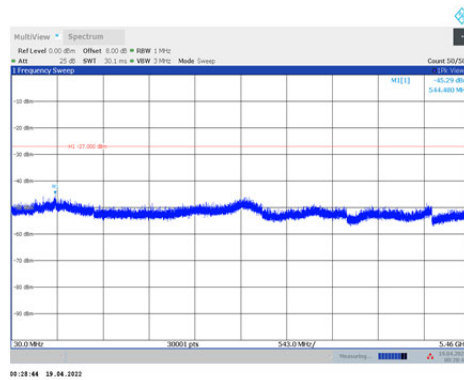
11AC20MIMO_Ant1_5680_30~5460



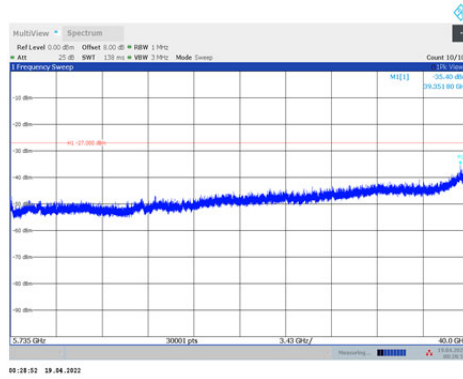
11AC20MIMO_Ant1_5680_5735~40000



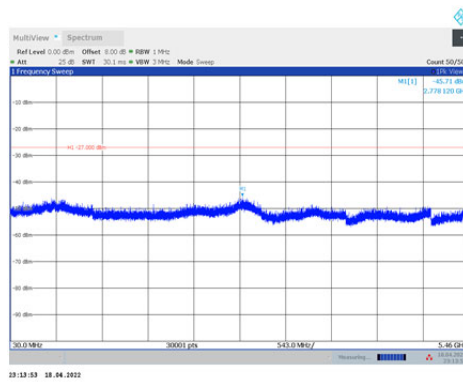
11AC20MIMO_Ant2_5680_30~5460



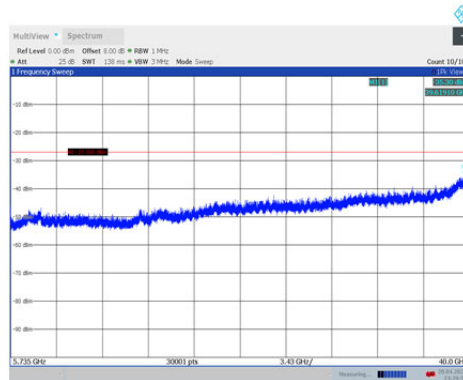
11AC20MIMO_Ant2_5680_5735~40000



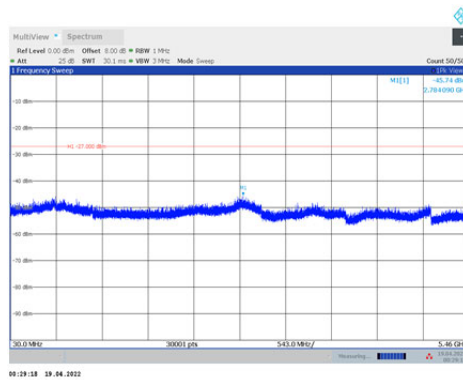
11AC20MIMO_Ant1_5700_30~5460



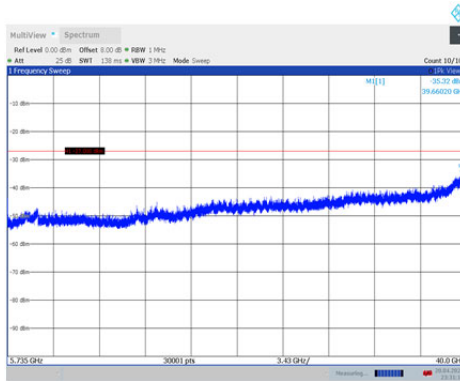
11AC20MIMO_Ant1_5700_5735~40000



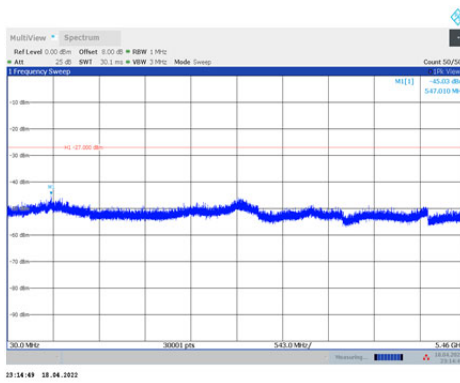
11AC20MIMO_Ant2_5700_30~5460



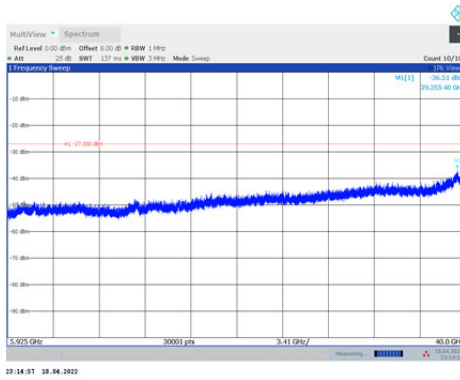
11AC20MIMO_Ant2_5700_5735~40000



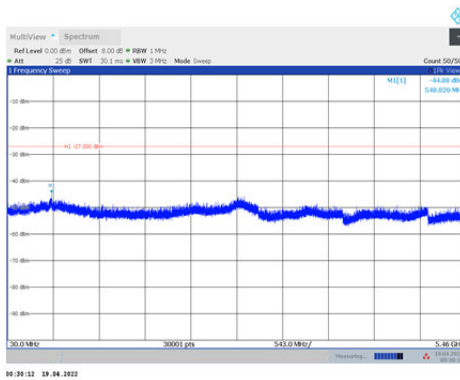
11AC20MIMO_Ant1_5720_30~5460



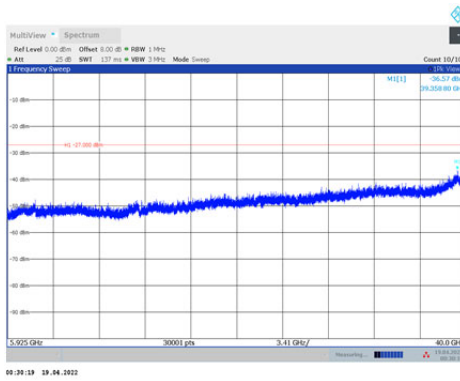
11AC20MIMO_Ant1_5720_5925~40000



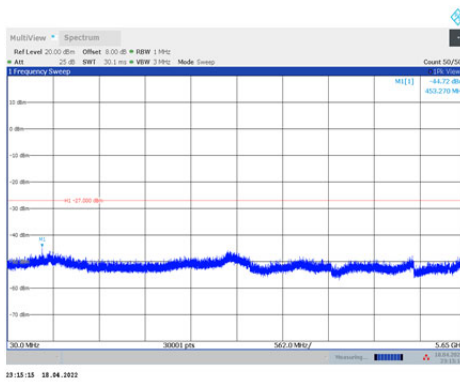
11AC20MIMO_Ant2_5720_30~5460



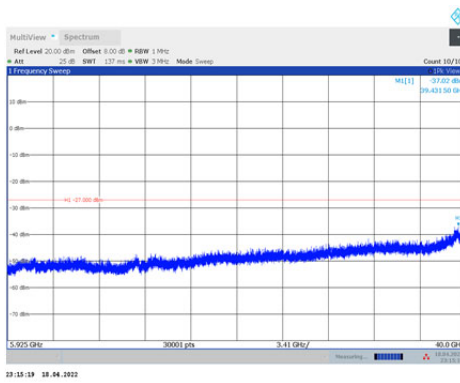
11AC20MIMO_Ant2_5720_5925~40000



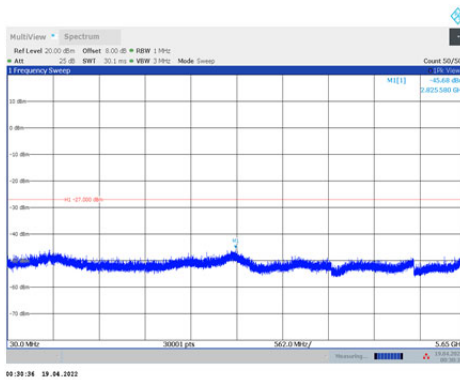
11AC20MIMO_Ant1_5745_30~5650



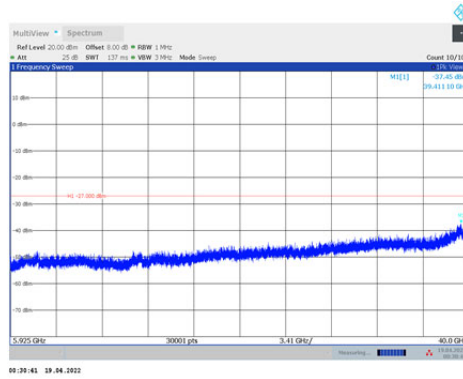
11AC20MIMO_Ant1_5745_5925~40000



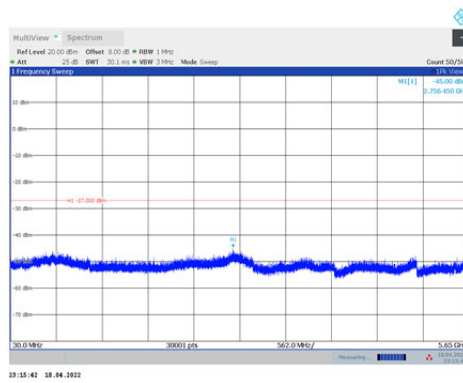
11AC20MIMO_Ant2_5745_30~5650



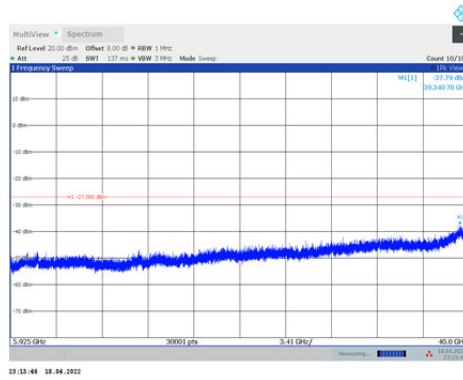
11AC20MIMO_Ant2_5745_5925~40000



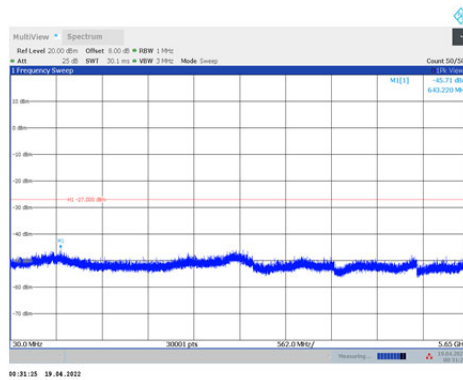
11AC20MIMO_Ant1_5785_30~5650



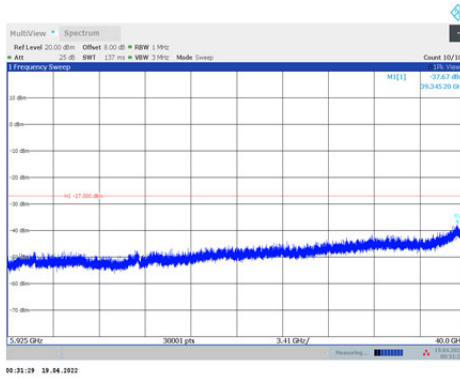
11AC20MIMO_Ant1_5785_5925~40000



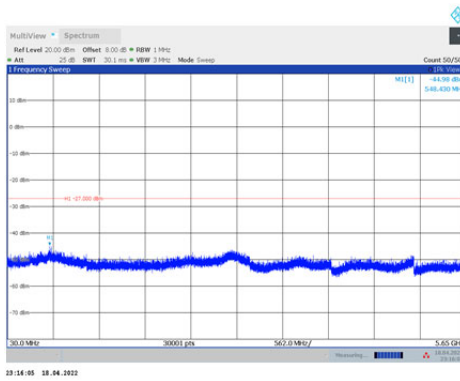
11AC20MIMO_Ant2_5785_30~5650



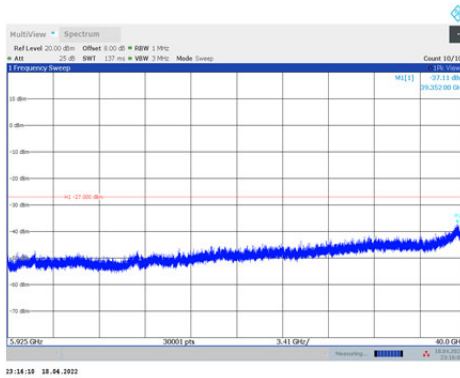
11AC20MIMO_Ant2_5785_5925~40000



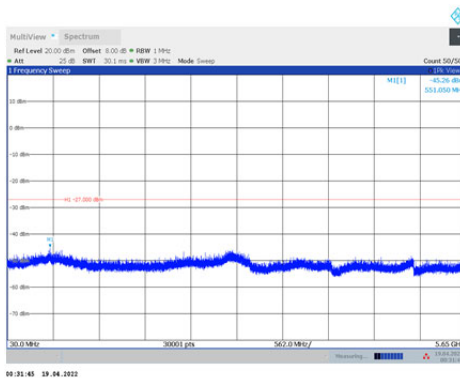
11AC20MIMO_Ant1_5825_30~5650



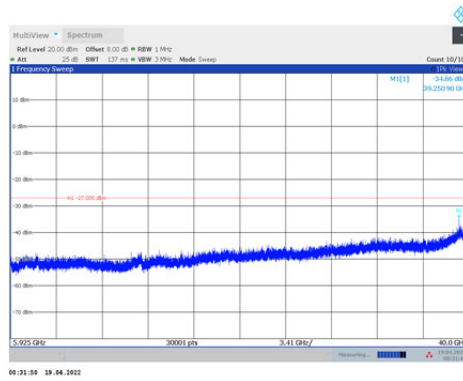
11AC20MIMO_Ant1_5825_5925~40000



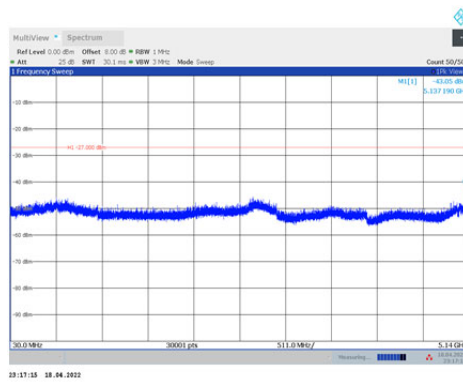
11AC20MIMO_Ant2_5825_30~5650



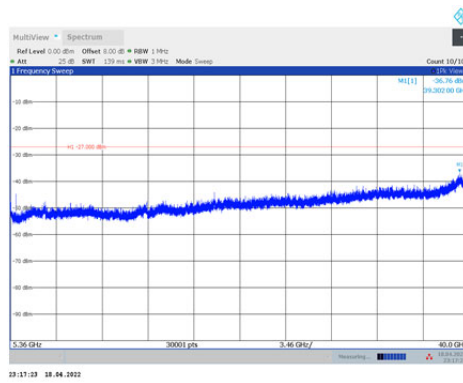
11AC20MIMO_Ant2_5825_5925~40000



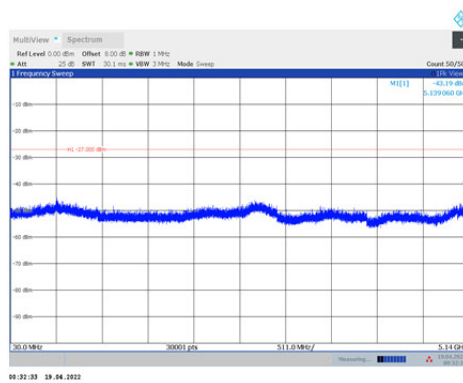
11AC40MIMO_Ant1_5190_30~5140



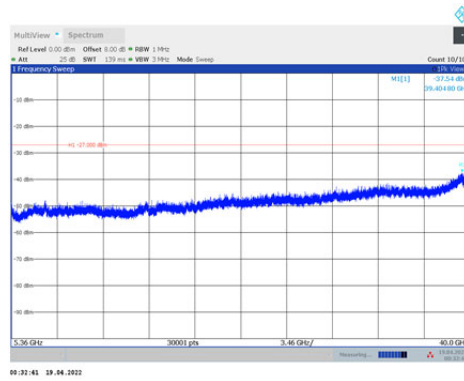
11AC40MIMO_Ant1_5190_5360~40000



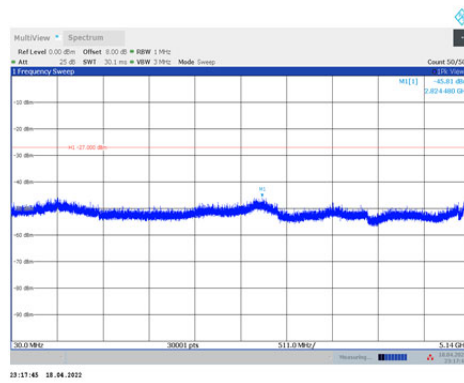
11AC40MIMO_Ant2_5190_30~5140



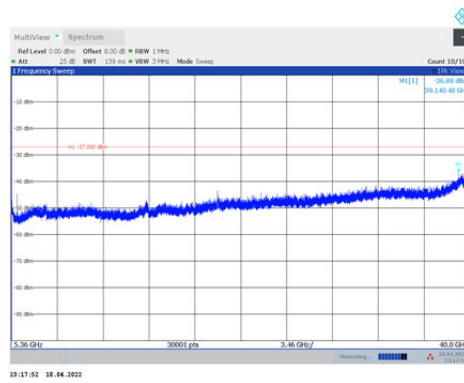
11AC40MIMO_Ant2_5190_5360~40000



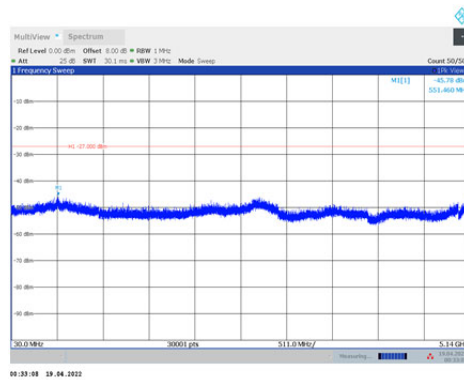
11AC40MIMO_Ant1_5230_30~5140



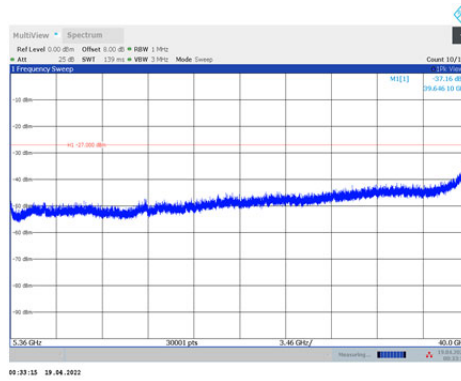
11AC40MIMO_Ant1_5230_5360~40000



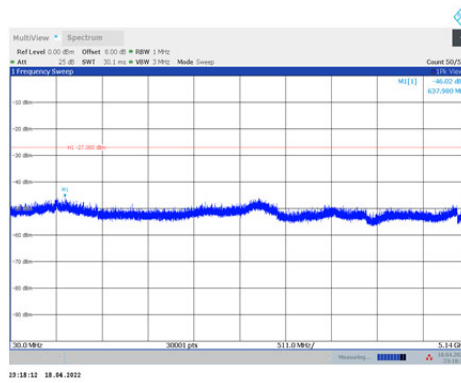
11AC40MIMO_Ant2_5230_30~5140



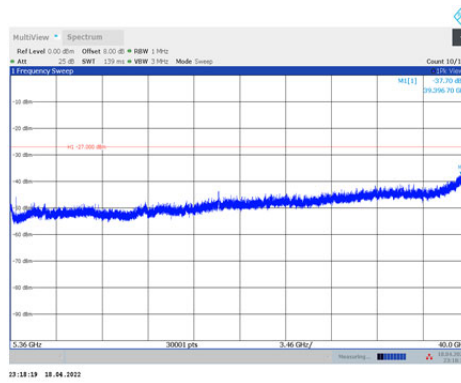
11AC40MIMO_Ant2_5230_5360~40000



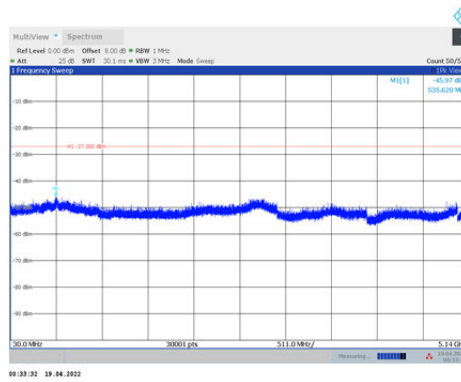
11AC40MIMO_Ant1_5270_30~5140



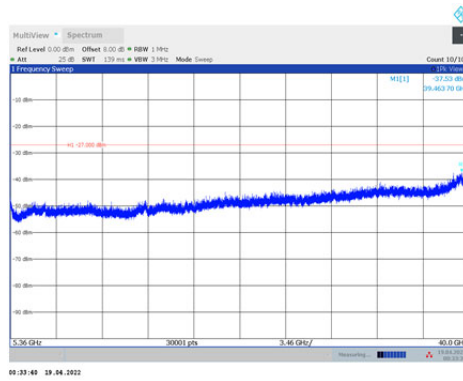
11AC40MIMO_Ant1_5270_5360~40000



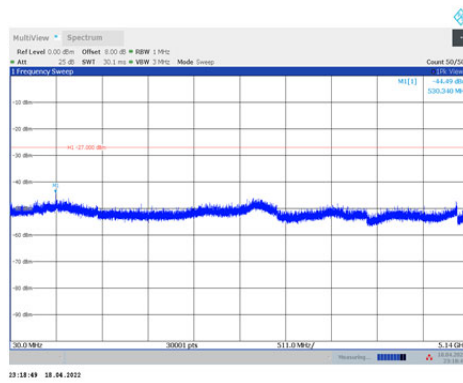
11AC40MIMO_Ant2_5270_30~5140



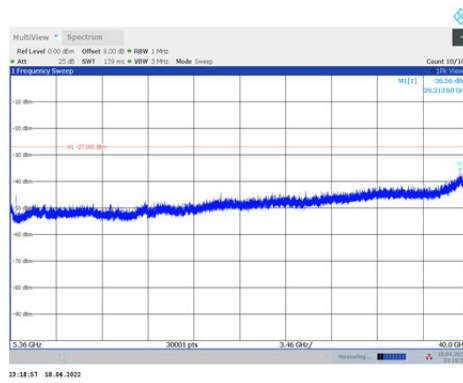
11AC40MIMO_Ant2_5270_5360~40000



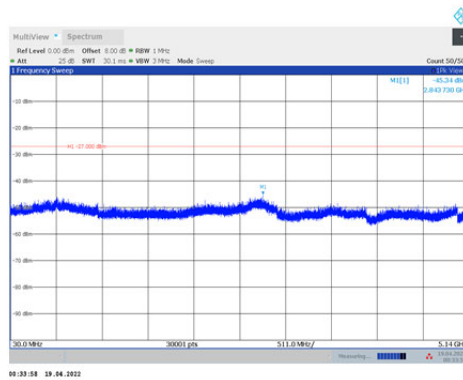
11AC40MIMO_Ant1_5310_30~5140



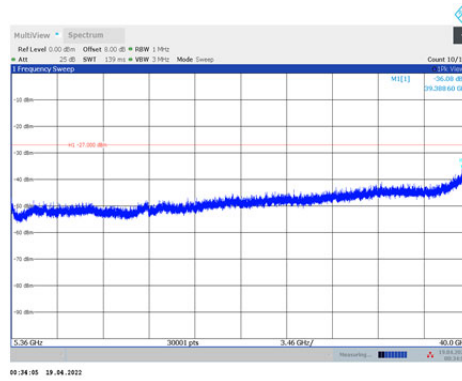
11AC40MIMO_Ant1_5310_5360~40000



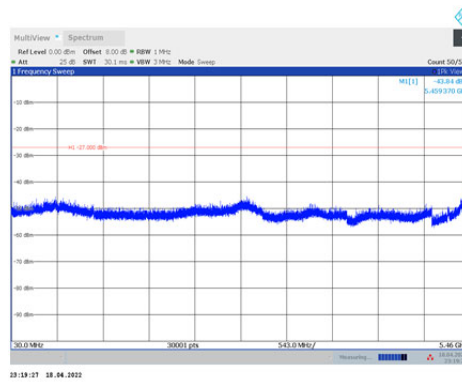
11AC40MIMO_Ant2_5310_30~5140



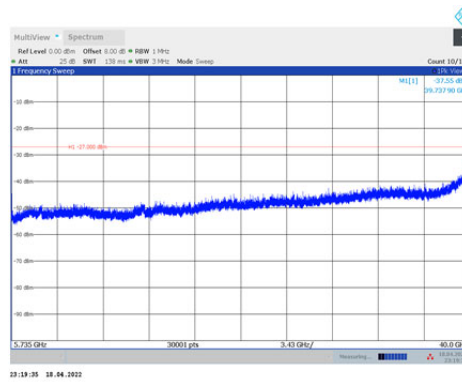
11AC40MIMO_Ant2_5310_5360~40000



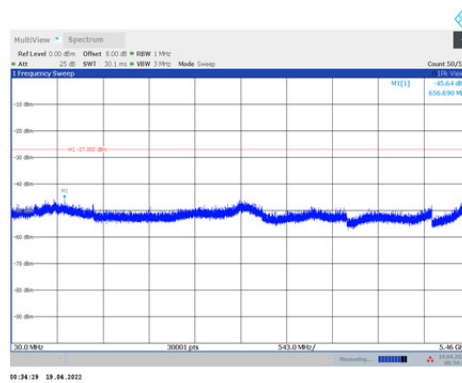
11AC40MIMO_Ant1_5510_30~5460



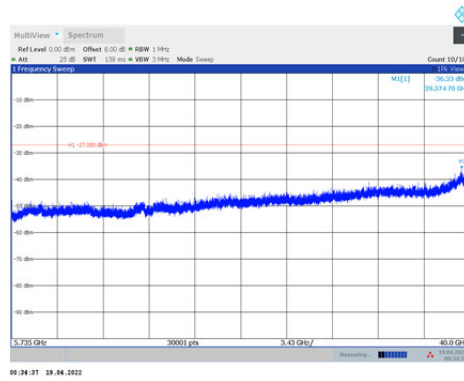
11AC40MIMO_Ant1_5510_5735~40000



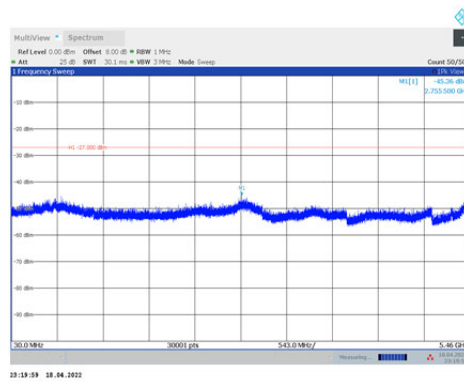
11AC40MIMO_Ant2_5510_30~5460



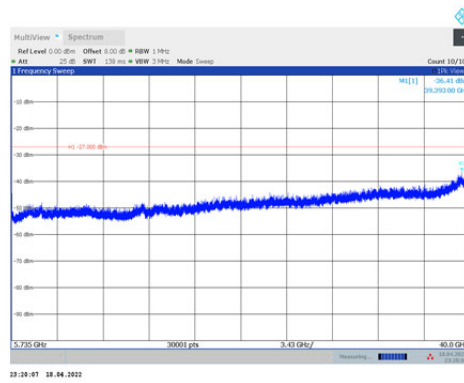
11AC40MIMO_Ant2_5510_5735~40000



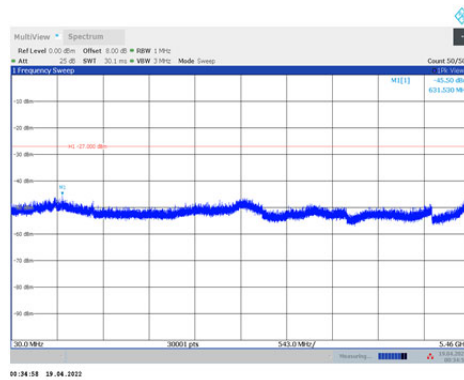
11AC40MIMO_Ant1_5550_30~5460



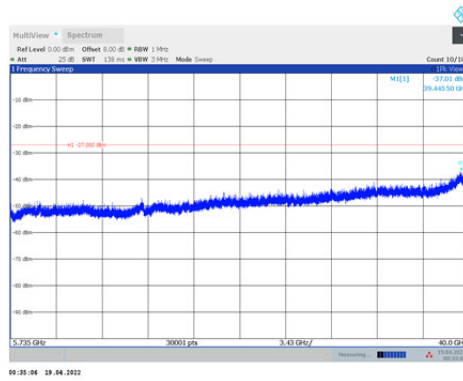
11AC40MIMO_Ant1_5550_5735~40000



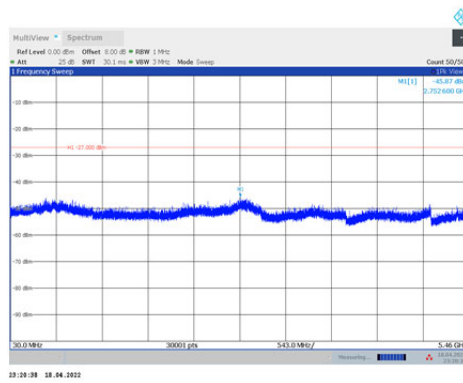
11AC40MIMO_Ant2_5550_30~5460



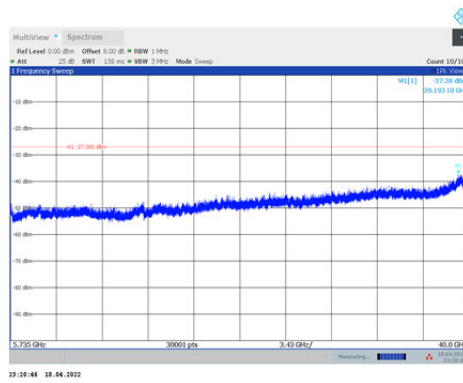
11AC40MIMO_Ant2_5550_5735~40000



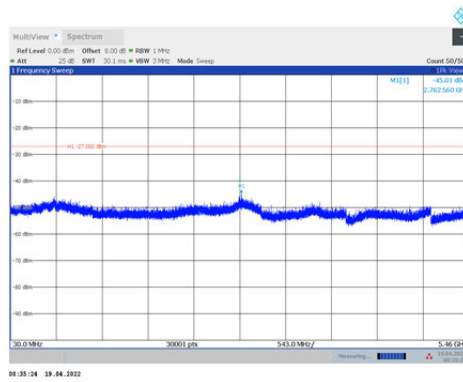
11AC40MIMO_Ant1_5630_30~5460



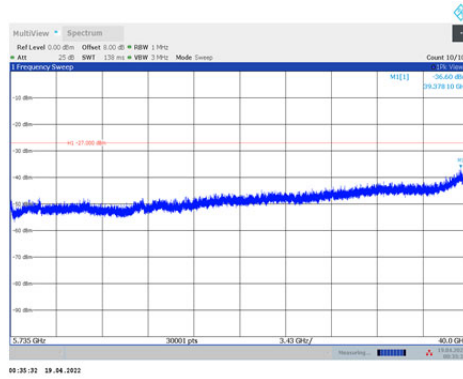
11AC40MIMO_Ant1_5630_5735~40000



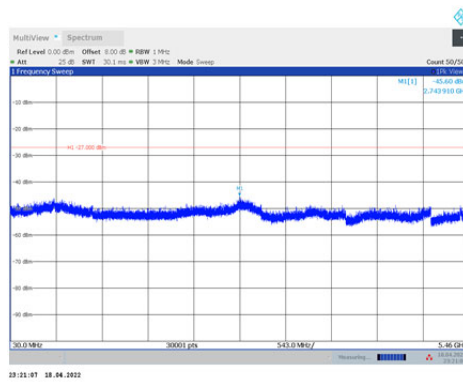
11AC40MIMO_Ant2_5630_30~5460



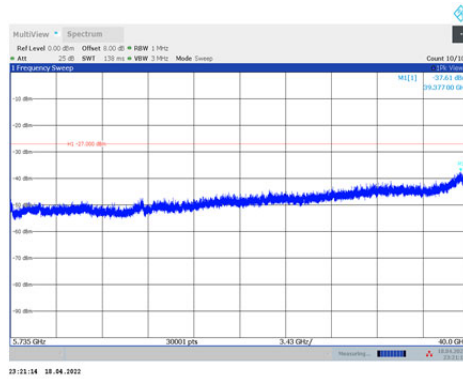
11AC40MIMO_Ant2_5630_5735~40000



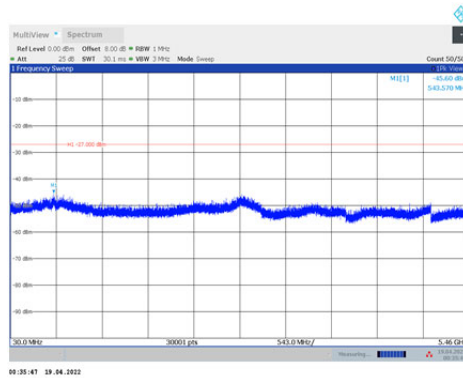
11AC40MIMO_Ant1_5670_30~5460



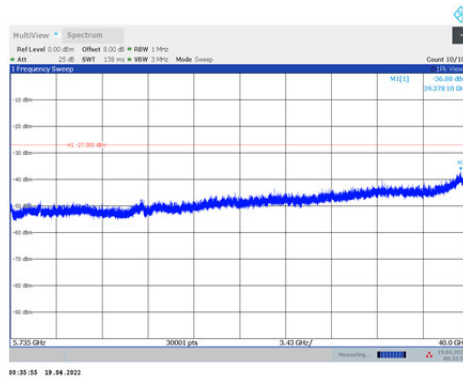
11AC40MIMO_Ant1_5670_5735~40000



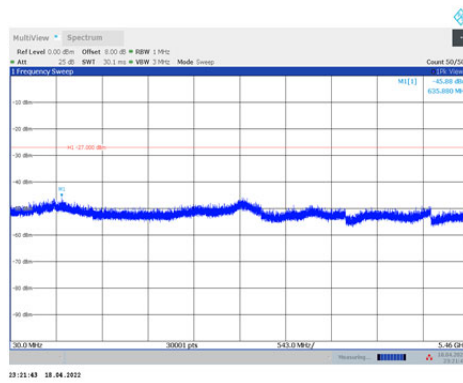
11AC40MIMO_Ant2_5670_30~5460



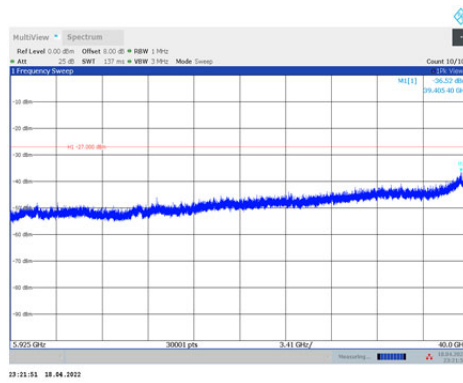
11AC40MIMO_Ant2_5670_5735~40000



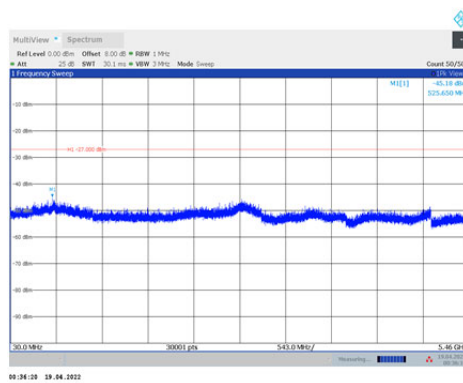
11AC40MIMO_Ant1_5710_30~5460



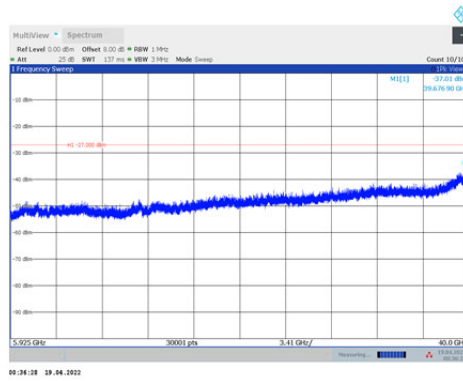
11AC40MIMO_Ant1_5710_5925~40000



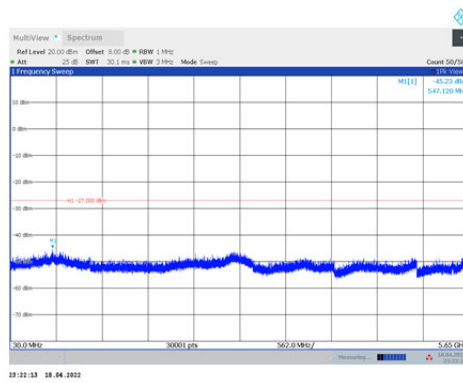
11AC40MIMO_Ant2_5710_30~5460



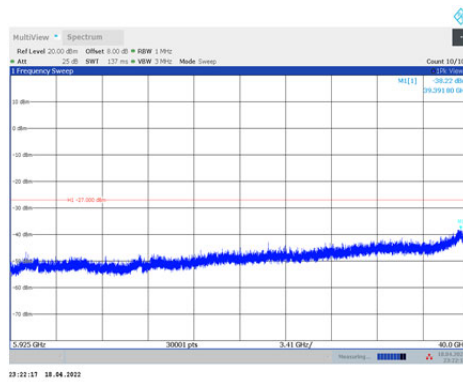
11AC40MIMO_Ant2_5710_5925~40000



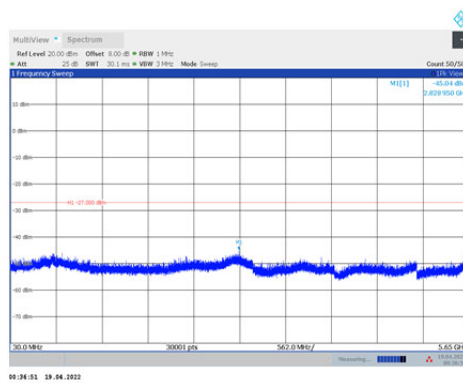
11AC40MIMO_Ant1_5755_30~5650



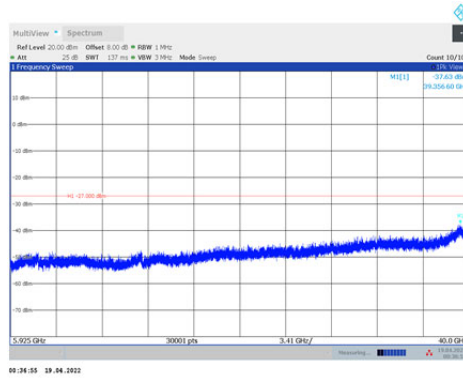
11AC40MIMO_Ant1_5755_5925~40000



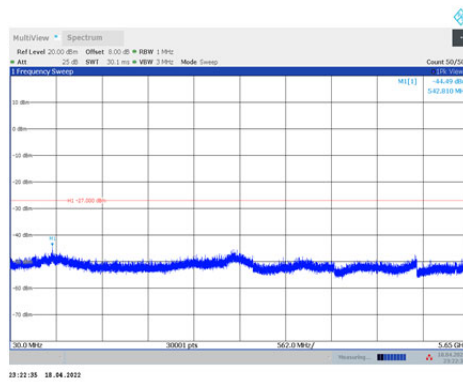
11AC40MIMO_Ant2_5755_30~5650



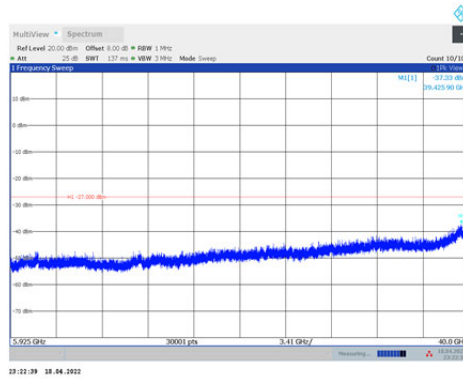
11AC40MIMO_Ant2_5755_5925~40000



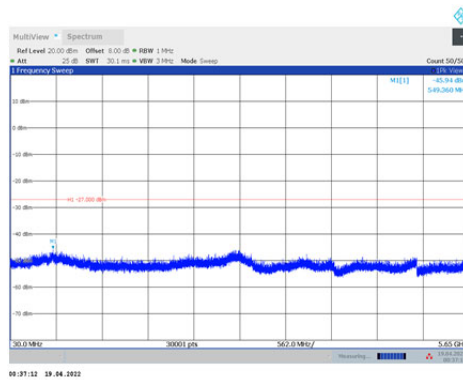
11AC40MIMO_Ant1_5795_30~5650



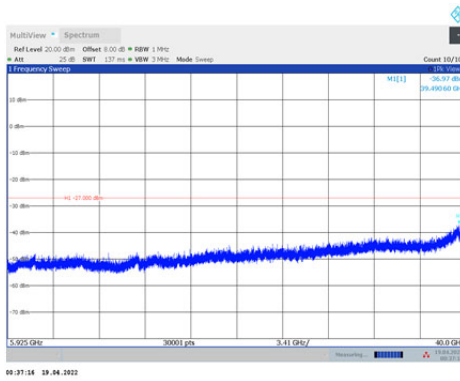
11AC40MIMO_Ant1_5795_5925~40000



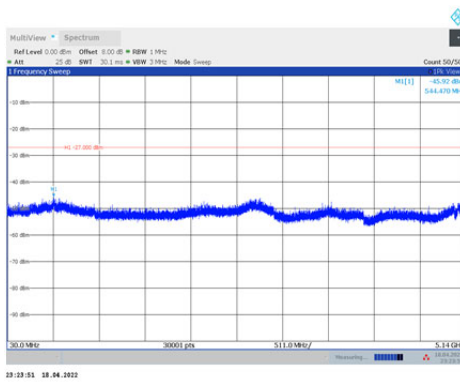
11AC40MIMO_Ant2_5795_30~5650



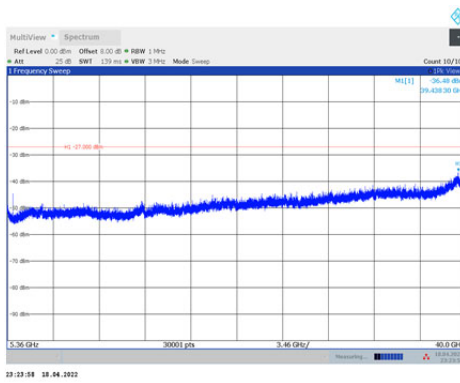
11AC40MIMO_Ant2_5795_5925~40000



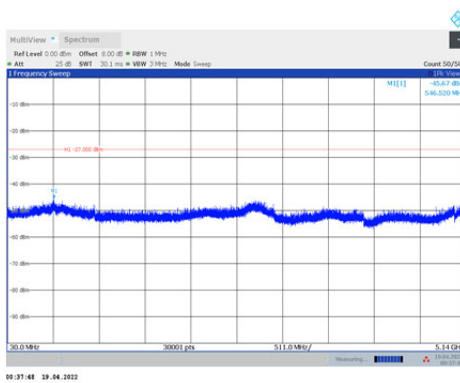
11AC80MIMO_Ant1_5210_30~5140



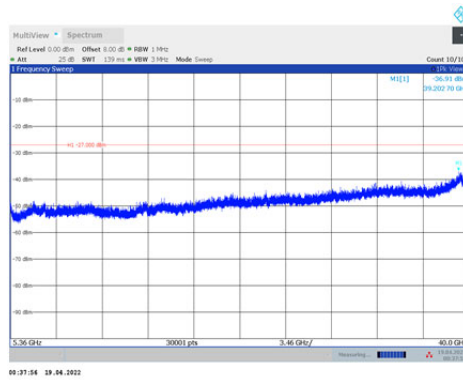
11AC80MIMO_Ant1_5210_5360~40000



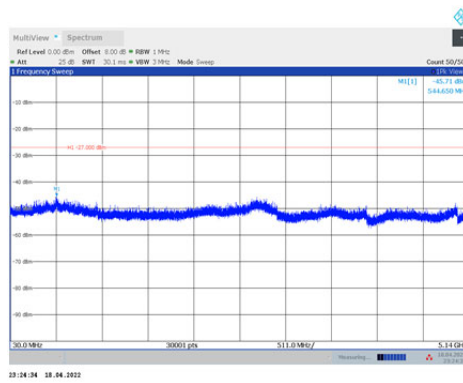
11AC80MIMO_Ant2_5210_30~5140



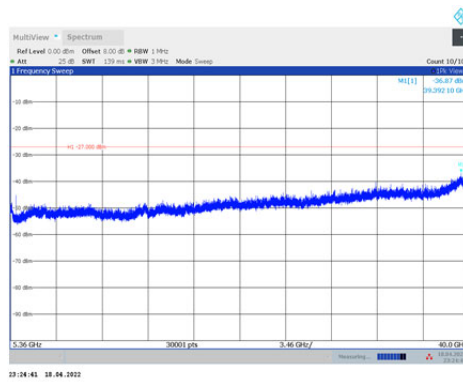
11AC80MIMO_Ant2_5210_5360~40000



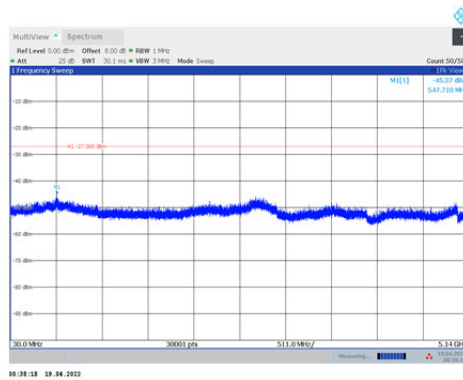
11AC80MIMO_Ant1_5290_30~5140



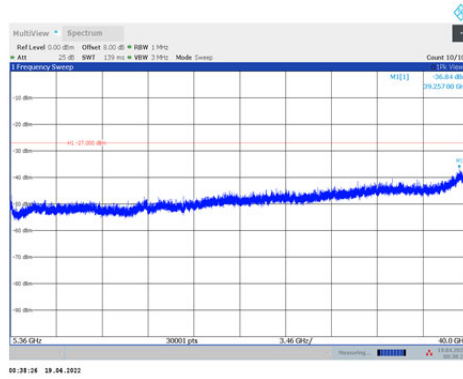
11AC80MIMO_Ant1_5290_5360~40000



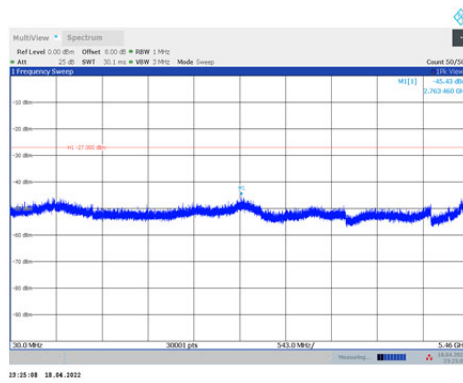
11AC80MIMO_Ant2_5290_30~5140



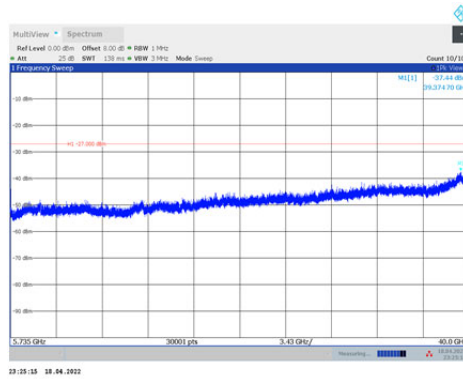
11AC80MIMO_Ant2_5290_5360~40000



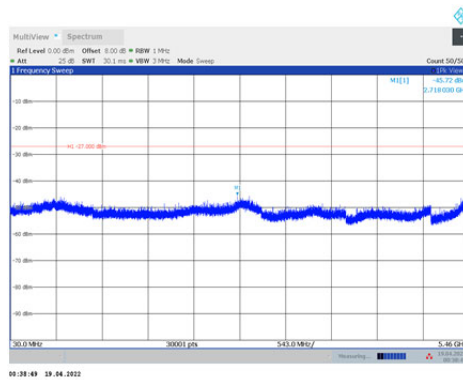
11AC80MIMO_Ant1_5530_30~5460



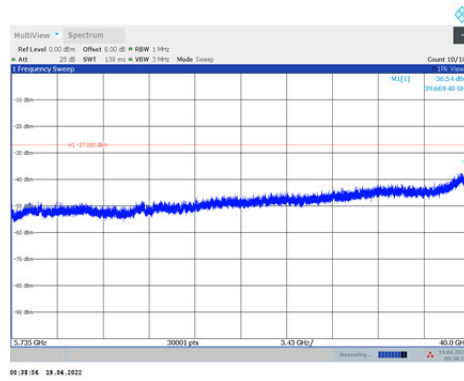
11AC80MIMO_Ant1_5530_5735~40000



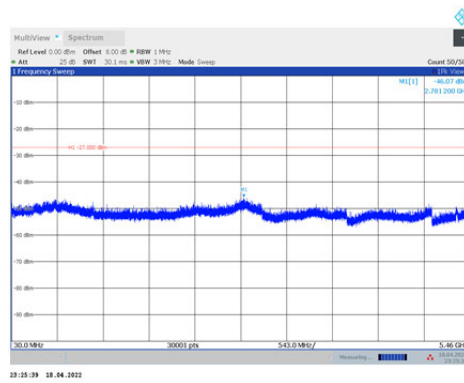
11AC80MIMO_Ant2_5530_30~5460



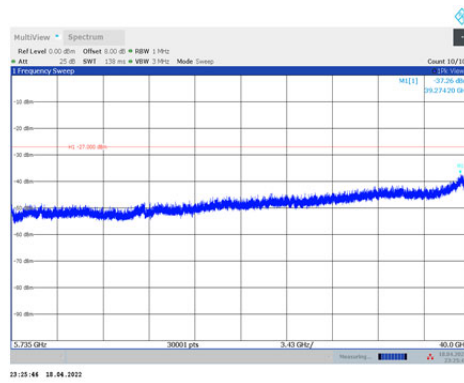
11AC80MIMO_Ant2_5530_5735~40000



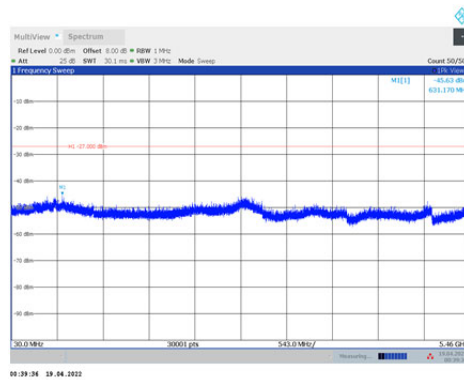
11AC80MIMO_Ant1_5610_30~5460



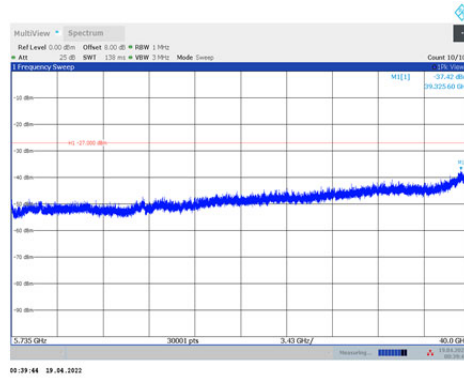
11AC80MIMO_Ant1_5610_5735~40000



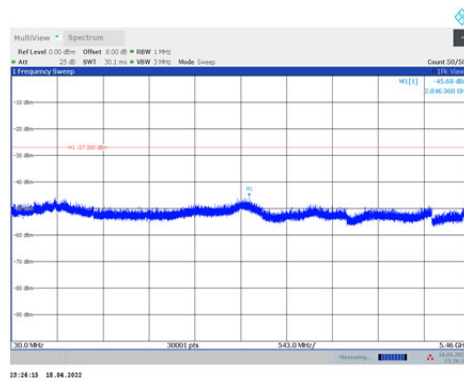
11AC80MIMO_Ant2_5610_30~5460



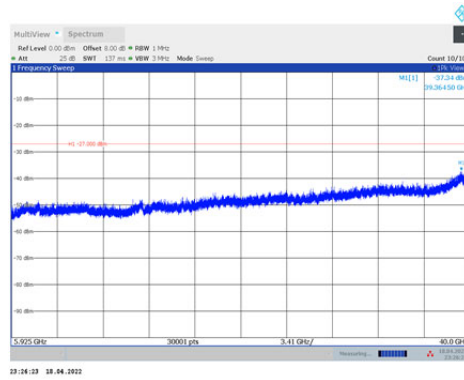
11AC80MIMO_Ant2_5610_5735~40000



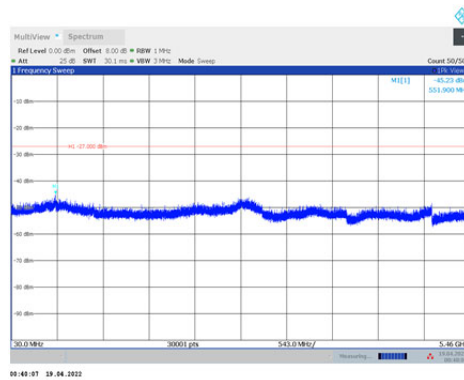
11AC80MIMO_Ant1_5690_30~5460



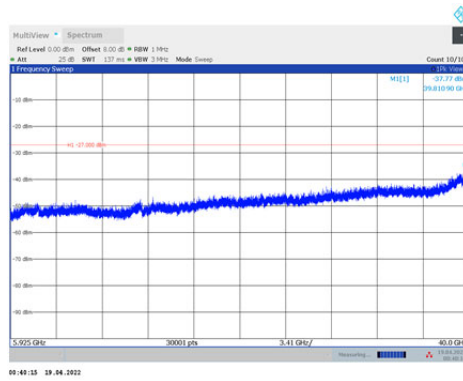
11AC80MIMO_Ant1_5690_5925~40000



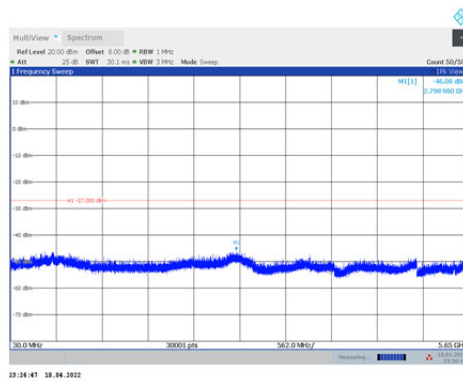
11AC80MIMO_Ant2_5690_30~5460



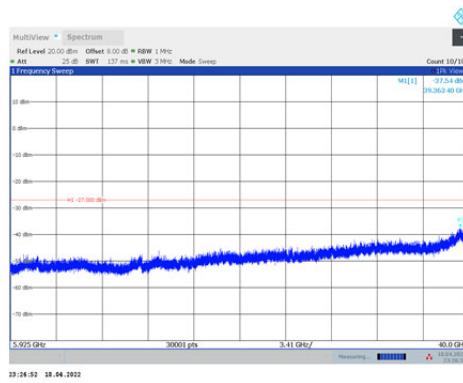
11AC80MIMO_Ant2_5690_5925~40000



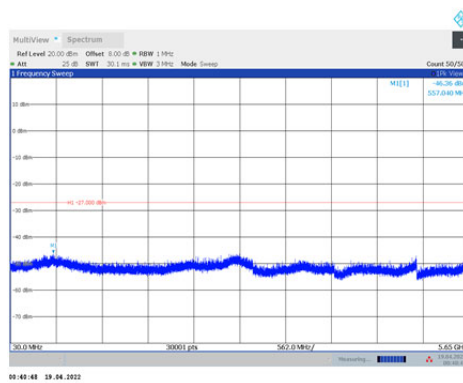
11AC80MIMO_Ant1_5775_30~5650



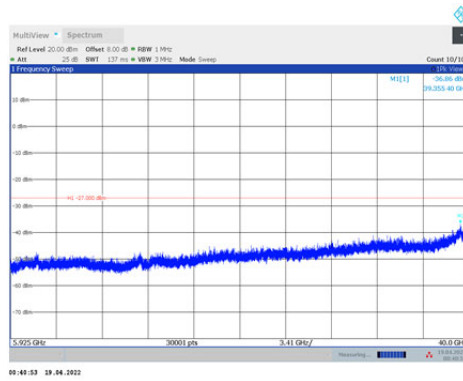
11AC80MIMO_Ant1_5775_5925~40000



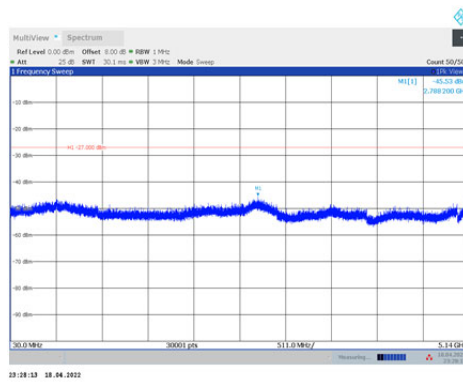
11AC80MIMO_Ant2_5775_30~5650



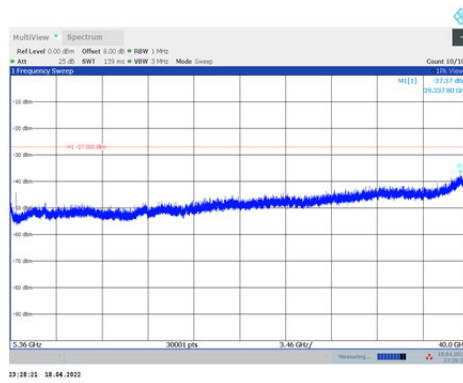
11AC80MIMO_Ant2_5775_5925~40000



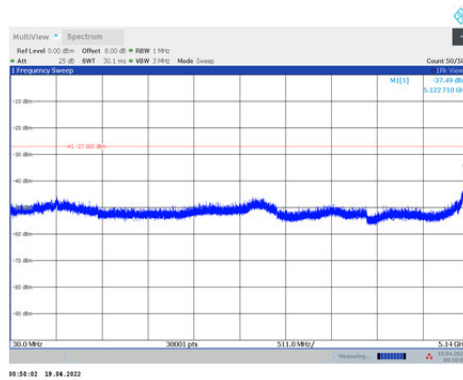
11AC160MIMO_Ant1_5250_30~5140



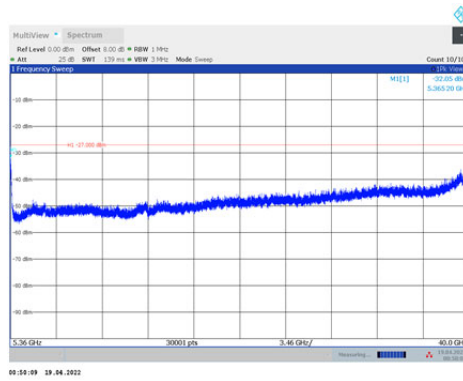
11AC160MIMO_Ant1_5250_5360~40000



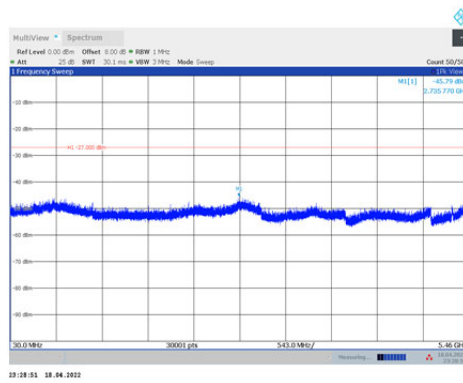
11AC160MIMO_Ant2_5250_30~5140



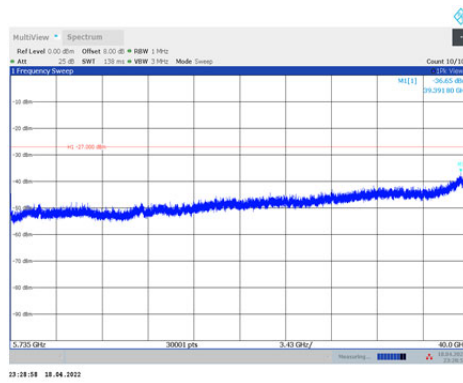
11AC160MIMO_Ant2_5250_5360~40000



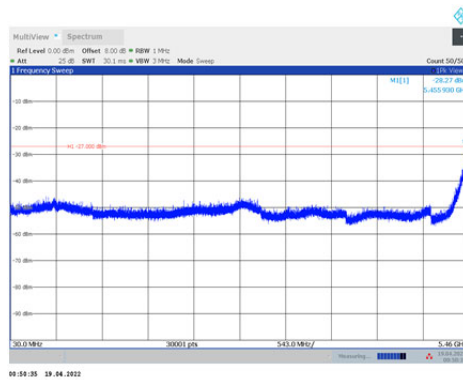
11AC160MIMO_Ant1_5570_30~5460



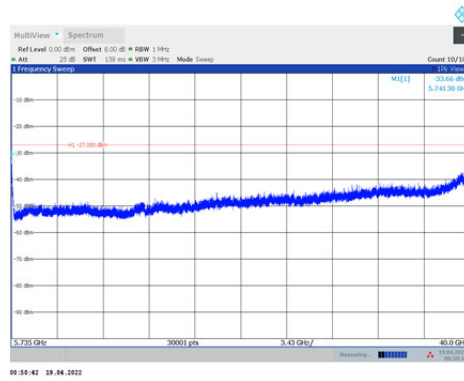
11AC160MIMO_Ant1_5570_5735~40000



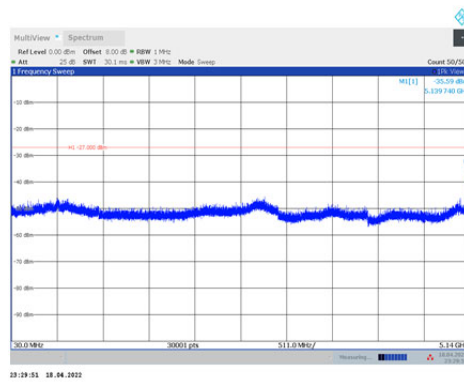
11AC160MIMO_Ant2_5570_30~5460



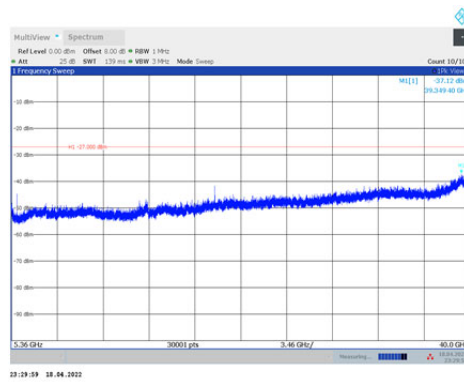
11AC160MIMO_Ant2_5570_5735~40000



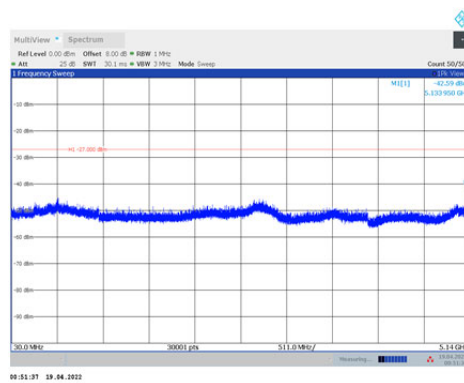
11AX20MIMO_Ant1_5180_30~5140



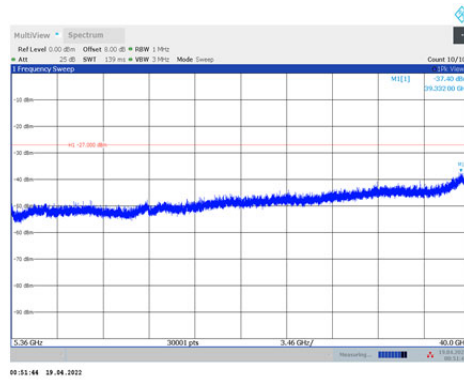
11AX20MIMO_Ant1_5180_5360~40000



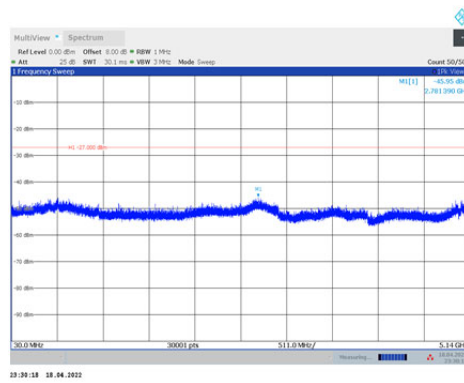
11AX20MIMO_Ant2_5180_30~5140



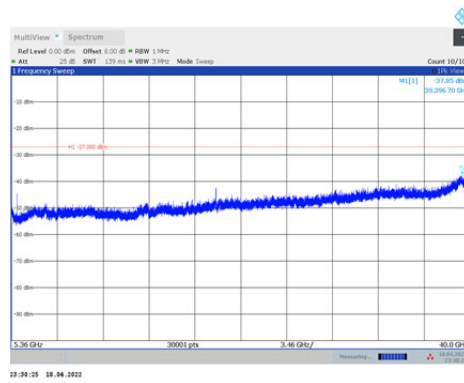
11AX20MIMO_Ant2_5180_5360~40000



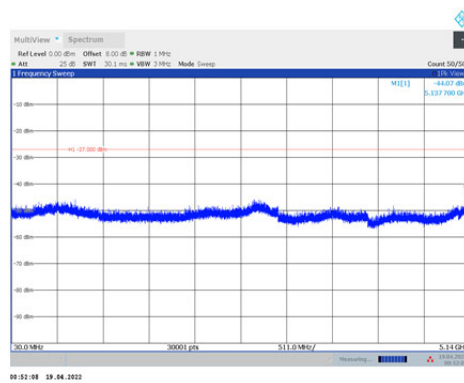
11AX20MIMO_Ant1_5200_30~5140



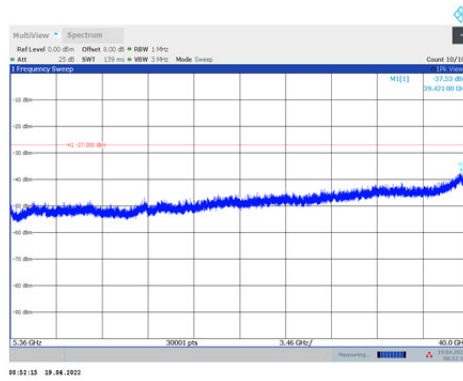
11AX20MIMO_Ant1_5200_5360~40000



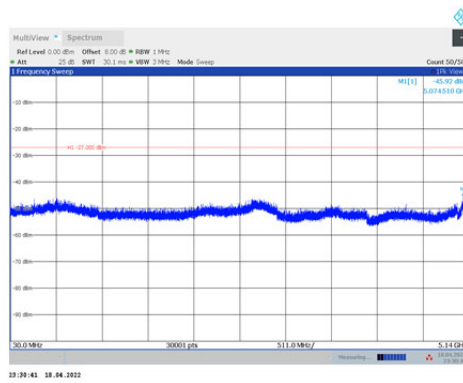
11AX20MIMO_Ant2_5200_30~5140



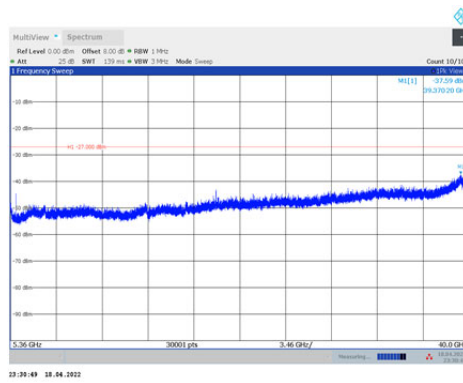
11AX20MIMO_Ant2_5200_5360~40000



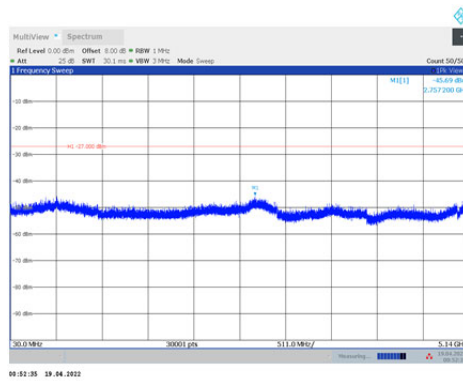
11AX20MIMO_Ant1_5220_30~5140



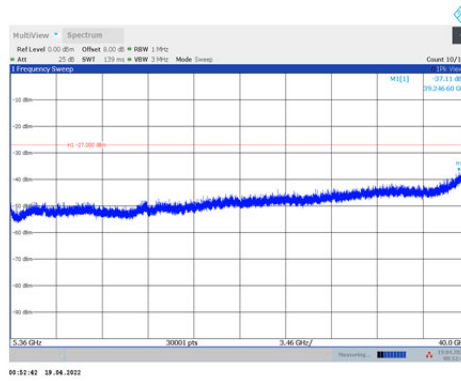
11AX20MIMO_Ant1_5220_5360~40000



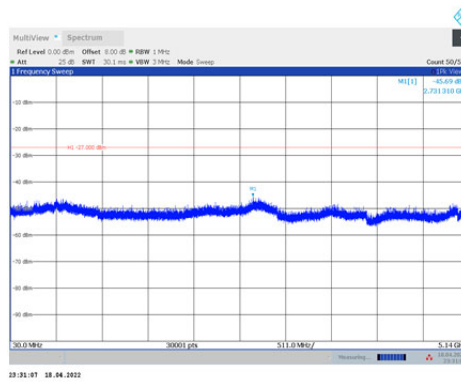
11AX20MIMO_Ant2_5220_30~5140



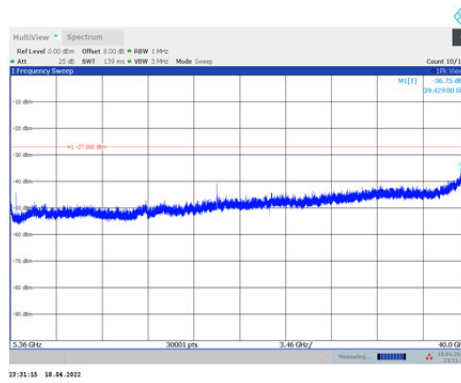
11AX20MIMO_Ant2_5220_5360~40000



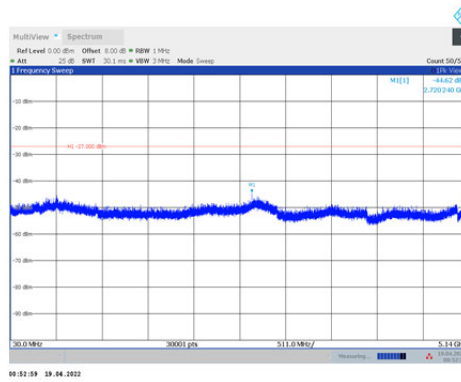
11AX20MIMO_Ant1_5240_30~5140



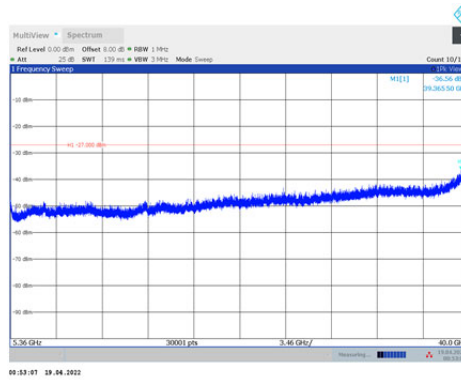
11AX20MIMO_Ant1_5240_5360~40000



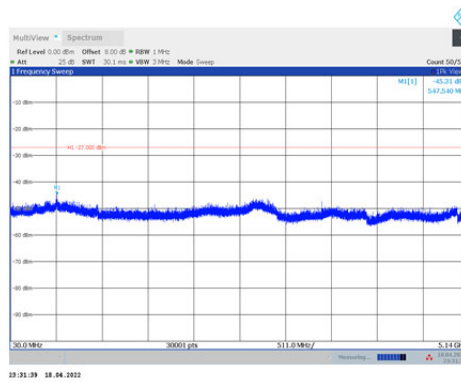
11AX20MIMO_Ant2_5240_30~5140



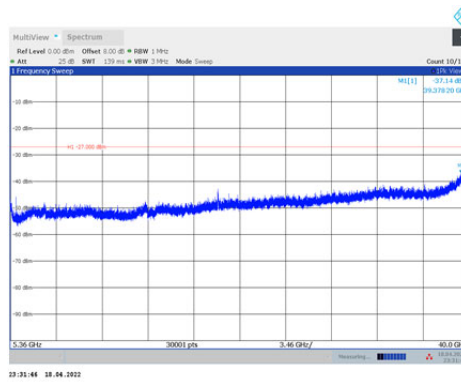
11AX20MIMO_Ant2_5240_5360~40000



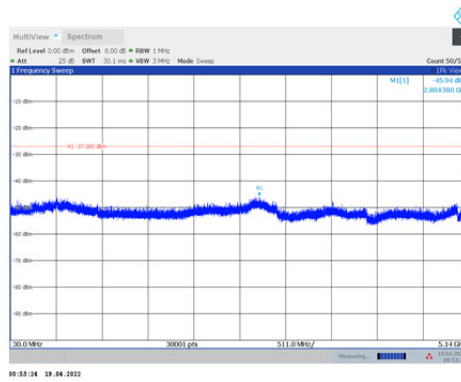
11AX20MIMO_Ant1_5260_30~5140



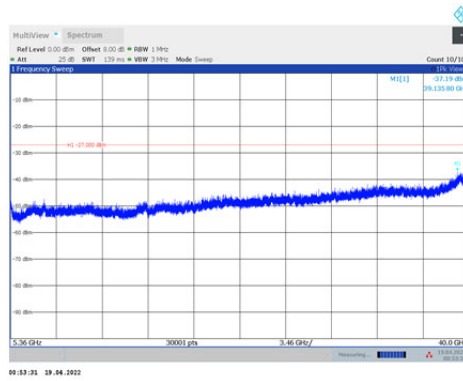
11AX20MIMO_Ant1_5260_5360~40000



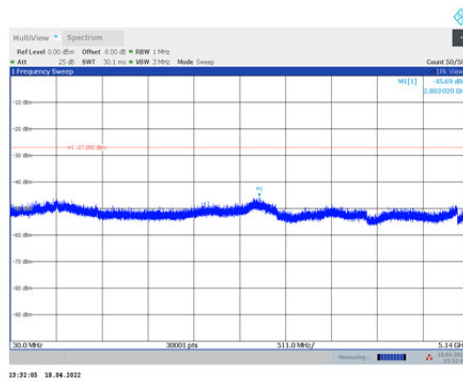
11AX20MIMO_Ant2_5260_30~5140



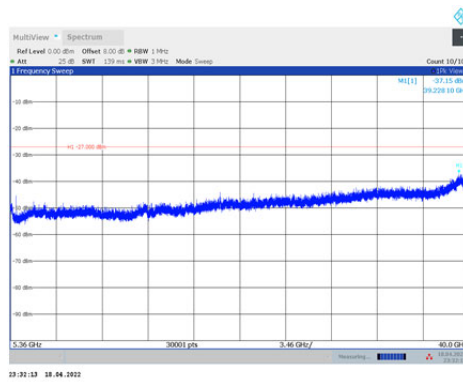
11AX20MIMO_Ant2_5260_5360~40000



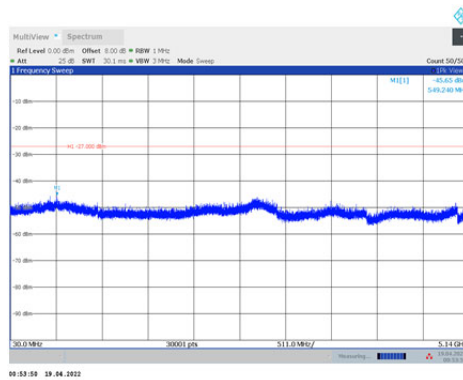
11AX20MIMO_Ant1_5300_30~5140



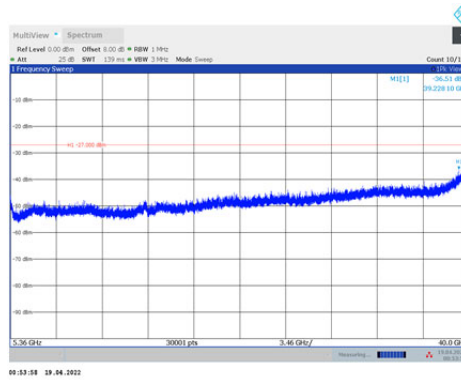
11AX20MIMO_Ant1_5300_5360~40000



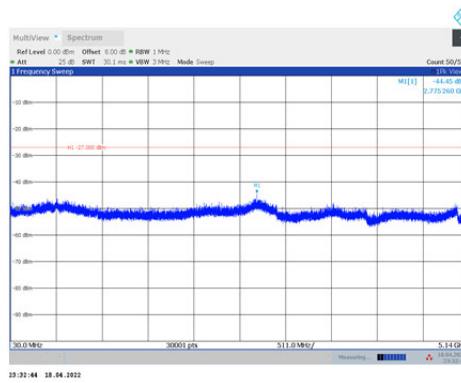
11AX20MIMO_Ant2_5300_30~5140



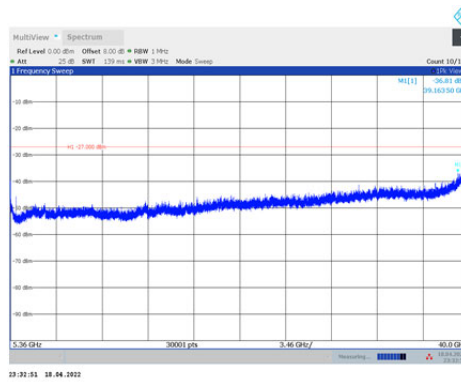
11AX20MIMO_Ant2_5300_5360~40000



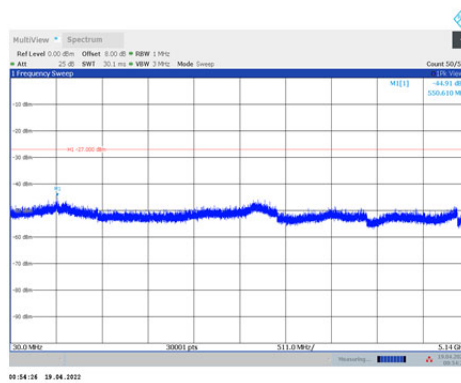
11AX20MIMO_Ant1_5320_30~5140



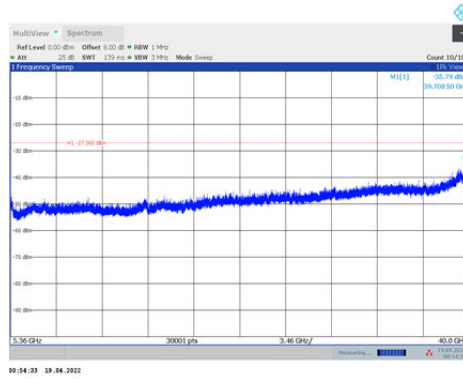
11AX20MIMO_Ant1_5320_5360~40000



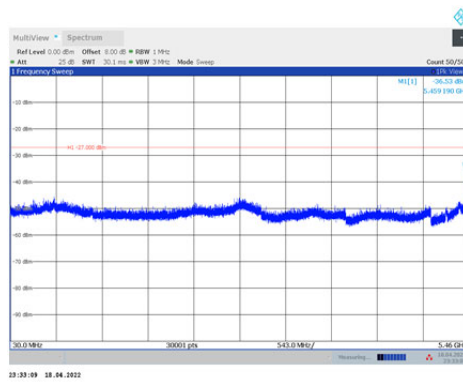
11AX20MIMO_Ant2_5320_30~5140



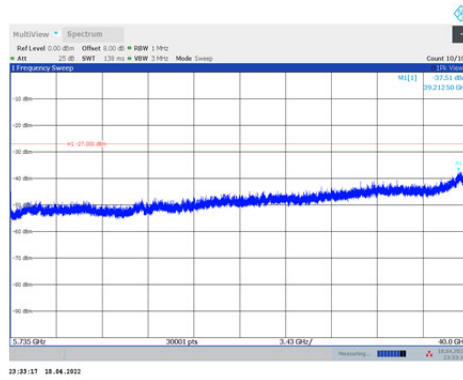
11AX20MIMO_Ant2_5320_5360~40000



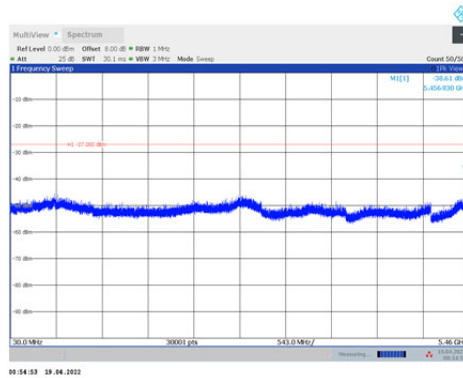
11AX20MIMO_Ant1_5500_30~5460



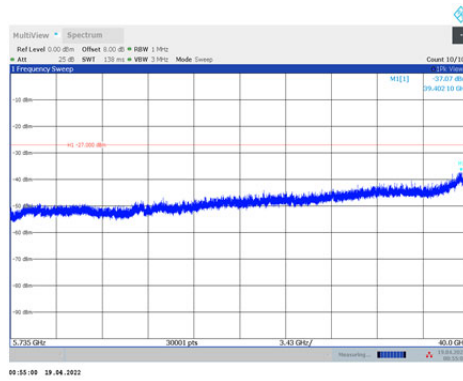
11AX20MIMO_Ant1_5500_5735~40000



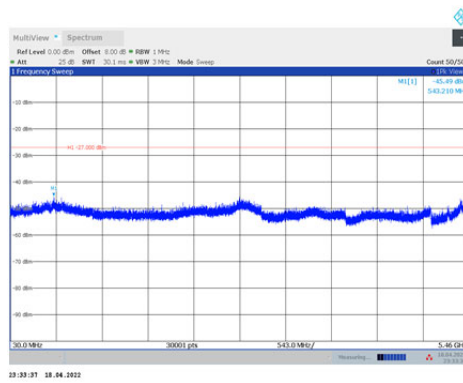
11AX20MIMO_Ant2_5500_30~5460



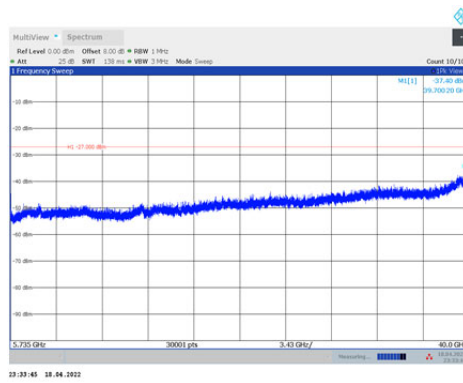
11AX20MIMO_Ant2_5500_5735~40000



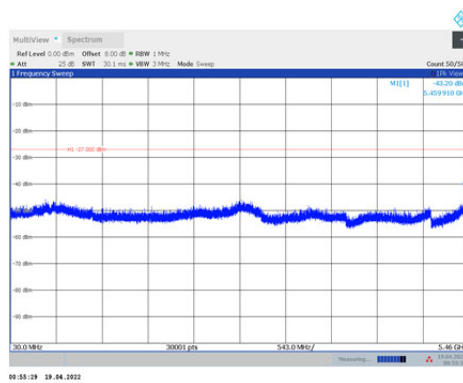
11AX20MIMO_Ant1_5520_30~5460



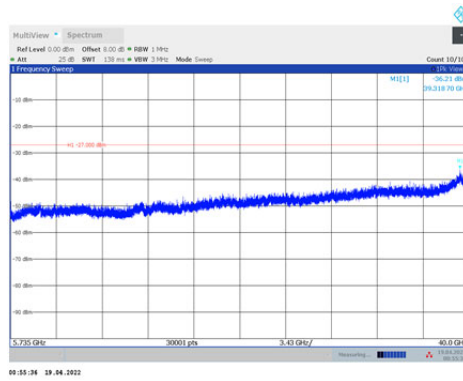
11AX20MIMO_Ant1_5520_5735~40000



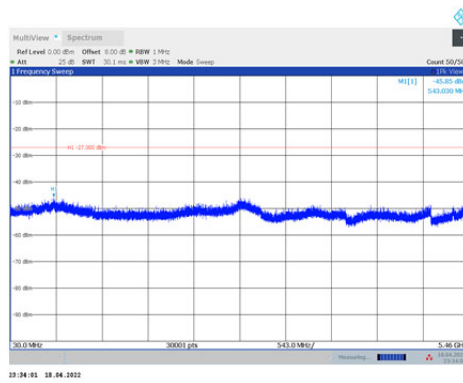
11AX20MIMO_Ant2_5520_30~5460



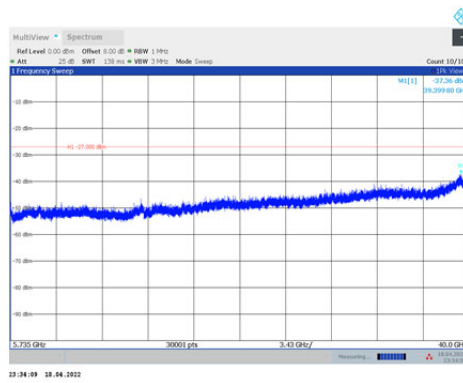
11AX20MIMO_Ant2_5520_5735~40000



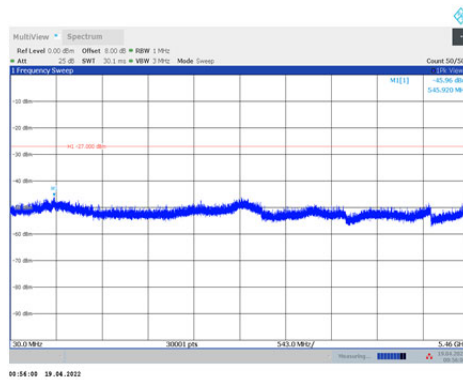
11AX20MIMO_Ant1_5580_30~5460



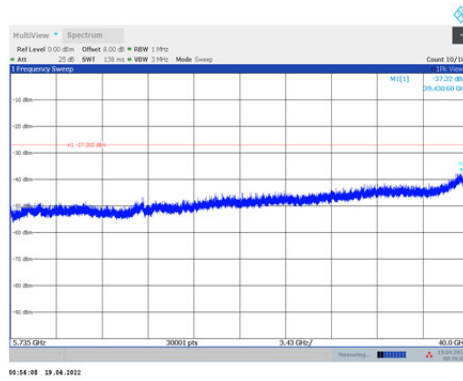
11AX20MIMO_Ant1_5580_5735~40000



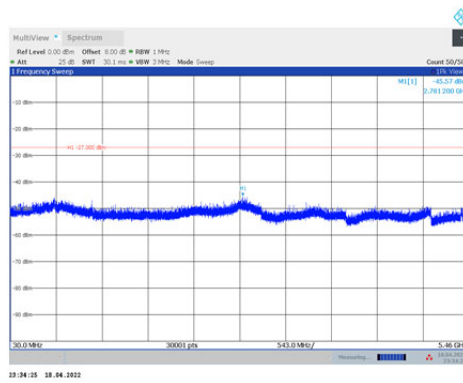
11AX20MIMO_Ant2_5580_30~5460



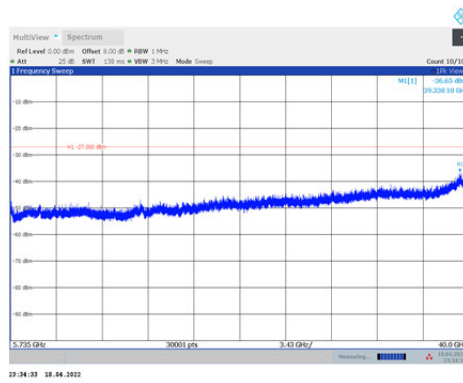
11AX20MIMO_Ant2_5580_5735~40000



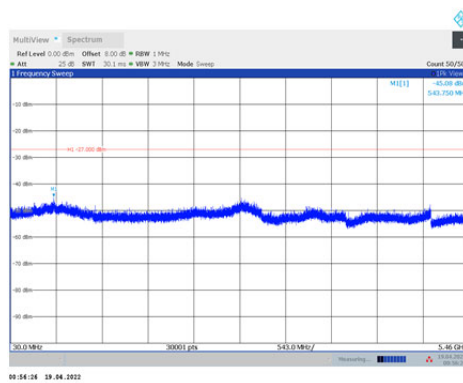
11AX20MIMO_Ant1_5680_30~5460



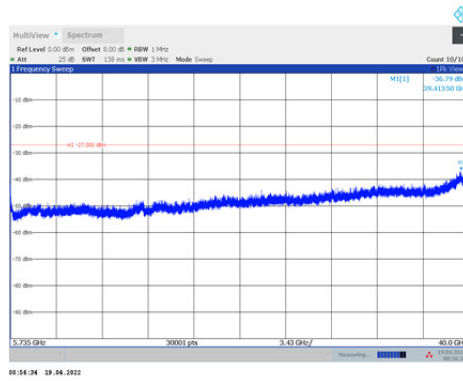
11AX20MIMO_Ant1_5680_5735~40000



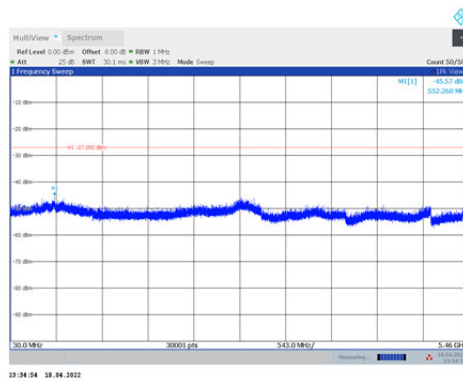
11AX20MIMO_Ant2_5680_30~5460



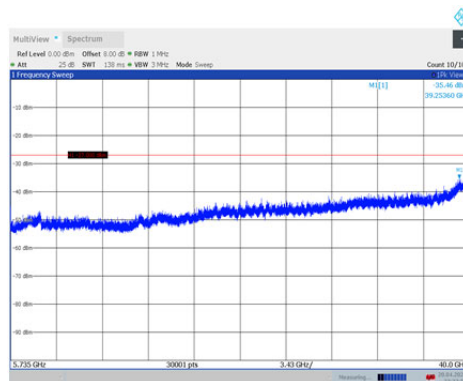
11AX20MIMO_Ant2_5680_5735~40000



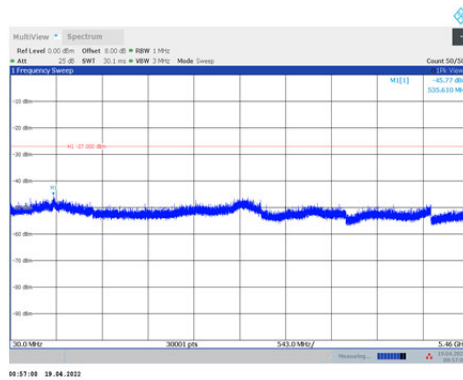
11AX20MIMO_Ant1_5700_30~5460



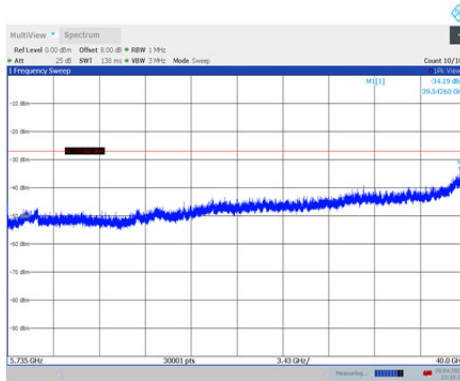
11AX20MIMO_Ant1_5700_5735~40000



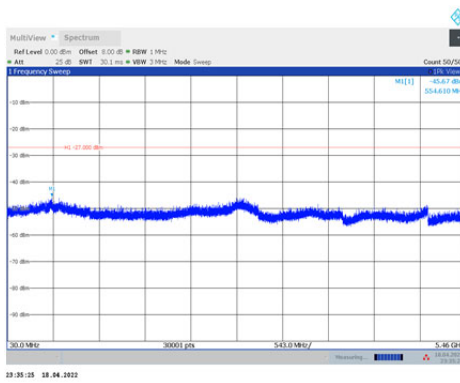
11AX20MIMO_Ant2_5700_30~5460



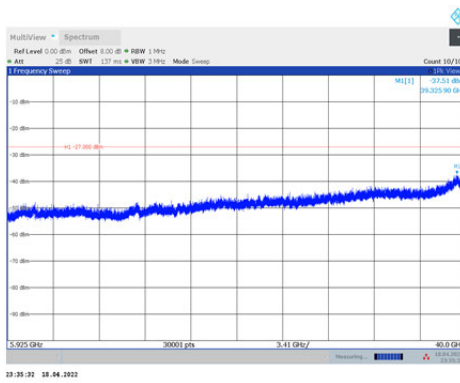
11AX20MIMO_Ant2_5700_5735~40000



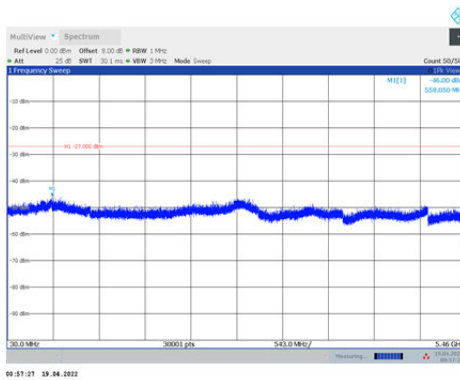
11AX20MIMO_Ant1_5720_30~5460



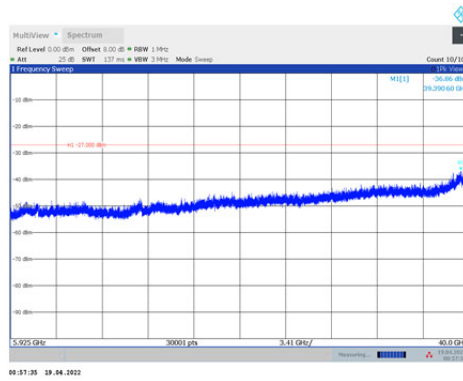
11AX20MIMO_Ant1_5720_5925~40000



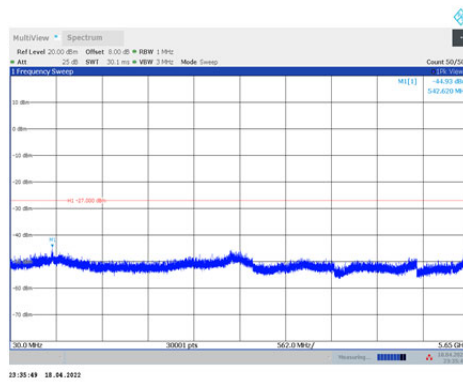
11AX20MIMO_Ant2_5720_30~5460



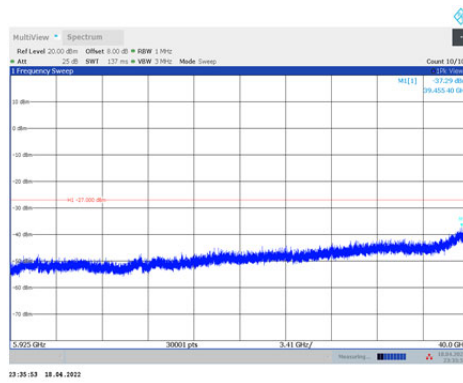
11AX20MIMO_Ant2_5720_5925~40000



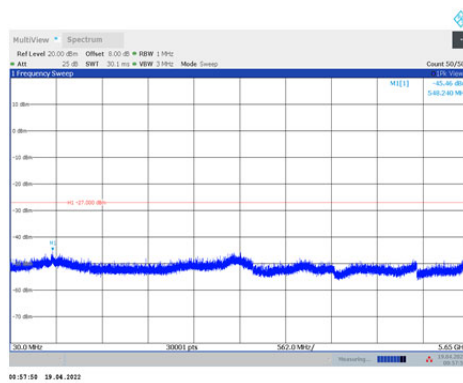
11AX20MIMO_Ant1_5745_30~5650



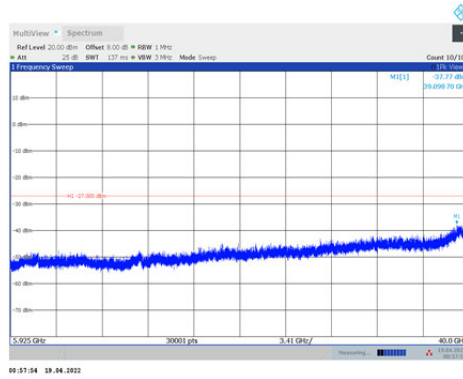
11AX20MIMO_Ant1_5745_5925~40000



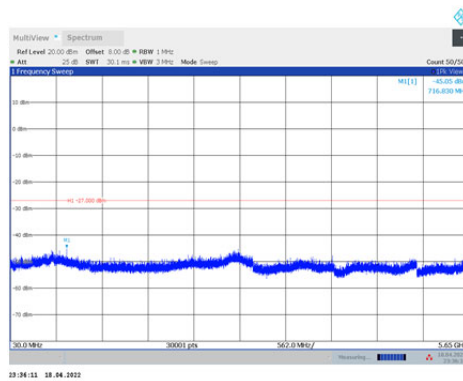
11AX20MIMO_Ant2_5745_30~5650



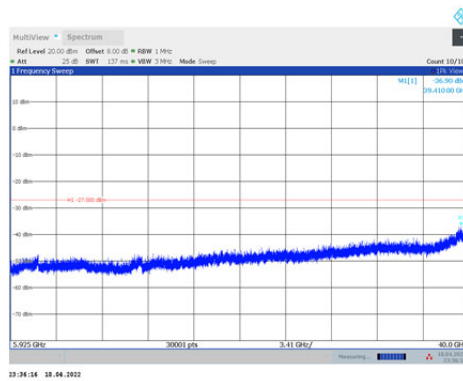
11AX20MIMO_Ant2_5745_5925~40000



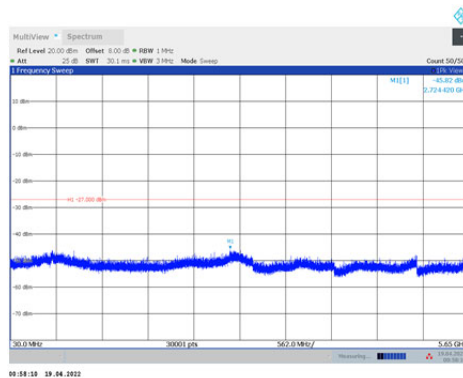
11AX20MIMO_Ant1_5785_30~5650



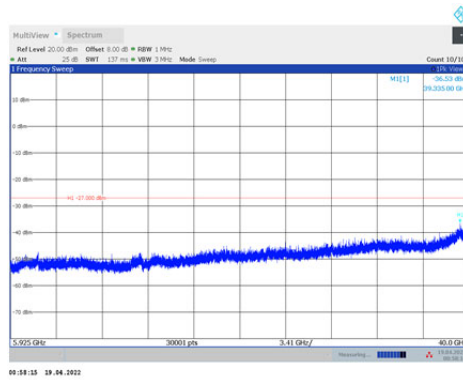
11AX20MIMO_Ant1_5785_5925~40000



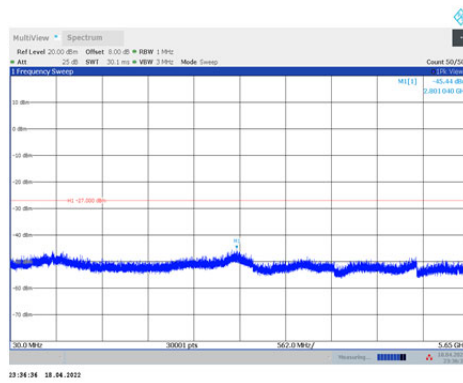
11AX20MIMO_Ant2_5785_30~5650



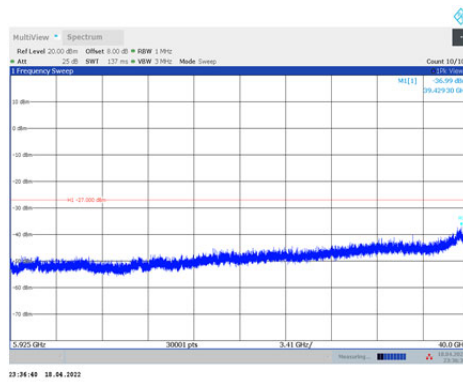
11AX20MIMO_Ant2_5785_5925~40000



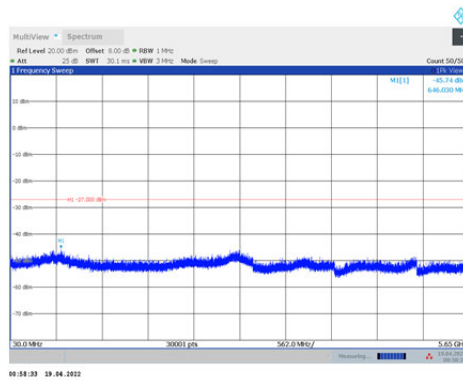
11AX20MIMO_Ant1_5825_30~5650



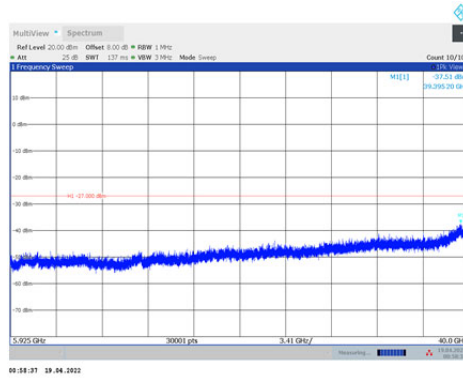
11AX20MIMO_Ant1_5825_5925~40000



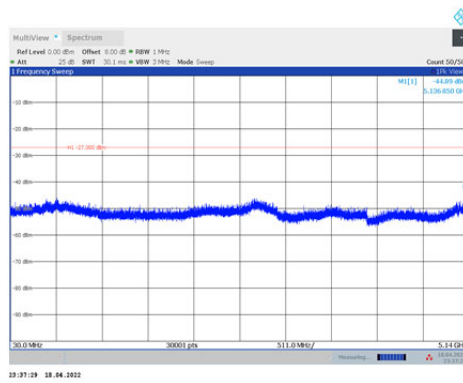
11AX20MIMO_Ant2_5825_30~5650



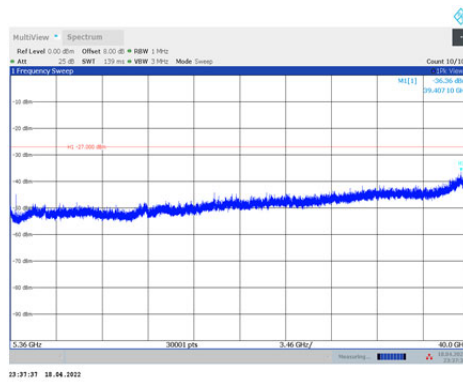
11AX20MIMO_Ant2_5825_5925~40000



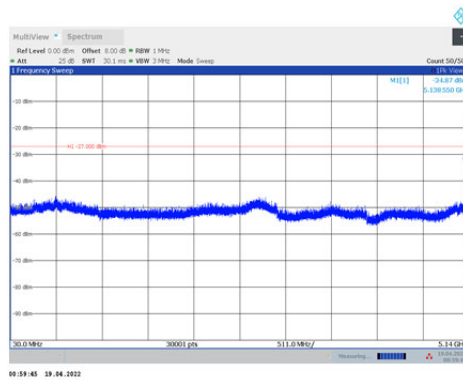
11AX40MIMO_Ant1_5190_30~5140



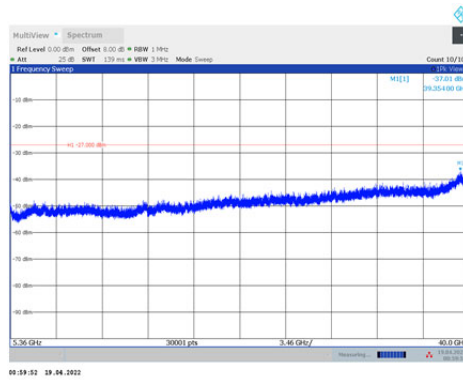
11AX40MIMO_Ant1_5190_5360~40000



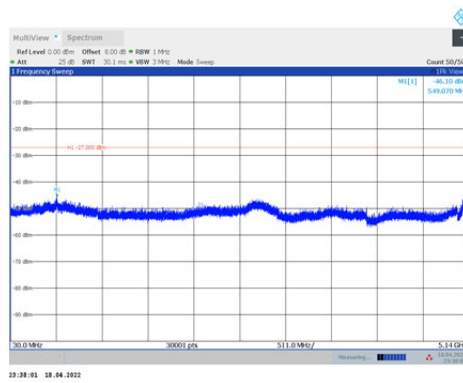
11AX40MIMO_Ant2_5190_30~5140



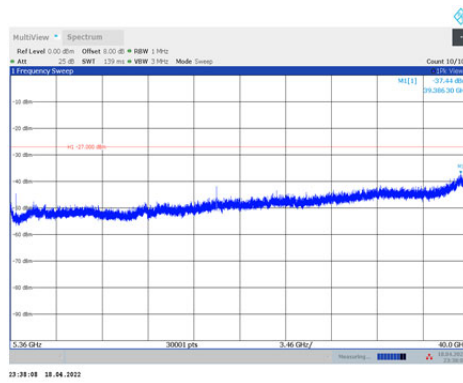
11AX40MIMO_Ant2_5190_5360~40000



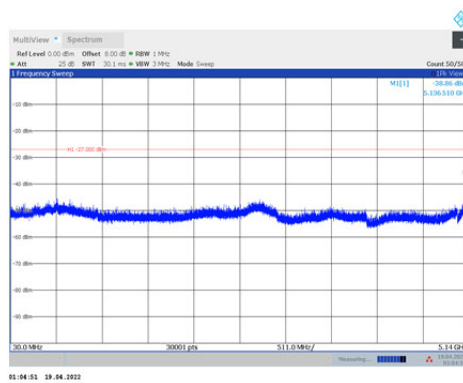
11AX40MIMO_Ant1_5230_30~5140



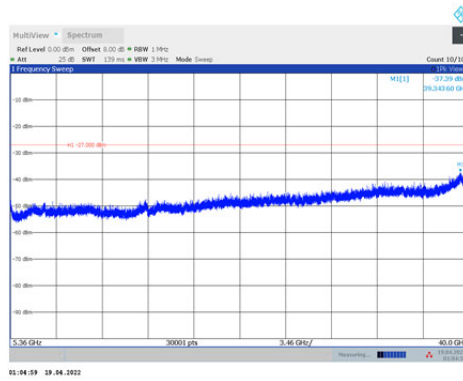
11AX40MIMO_Ant1_5230_5360~40000



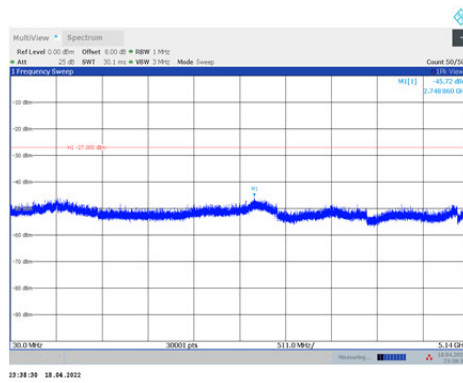
11AX40MIMO_Ant2_5230_30~5140



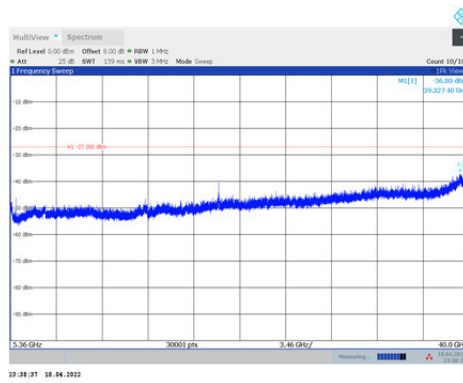
11AX40MIMO_Ant2_5230_5360~40000



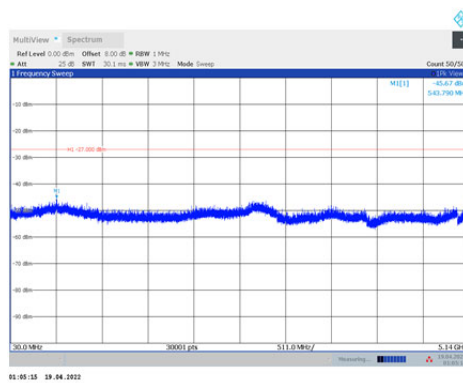
11AX40MIMO_Ant1_5270_30~5140



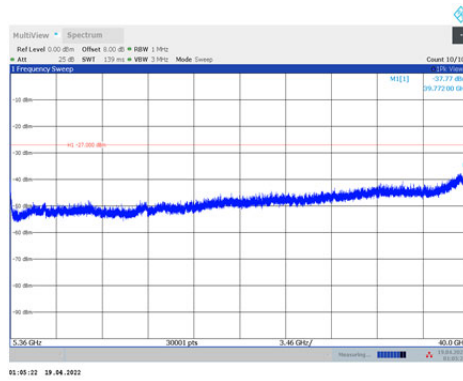
11AX40MIMO_Ant1_5270_5360~40000



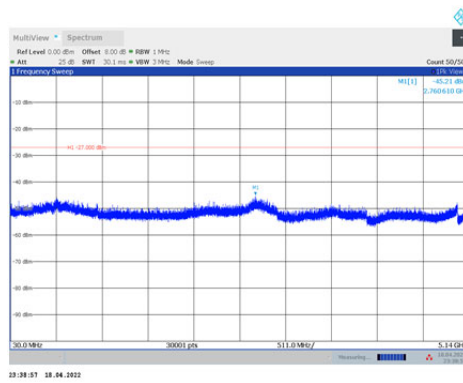
11AX40MIMO_Ant2_5270_30~5140



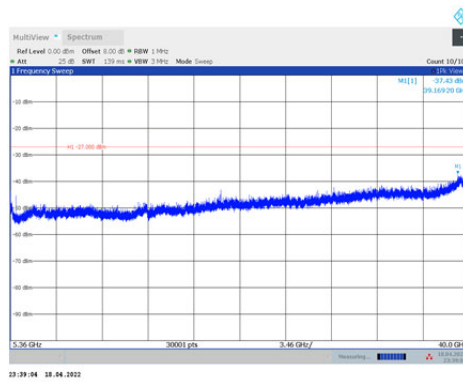
11AX40MIMO_Ant2_5270_5360~40000



11AX40MIMO_Ant1_5310_30~5140



11AX40MIMO_Ant1_5310_5360~40000



11AX40MIMO_Ant2_5310_30~5140

